

08/814141

1/26

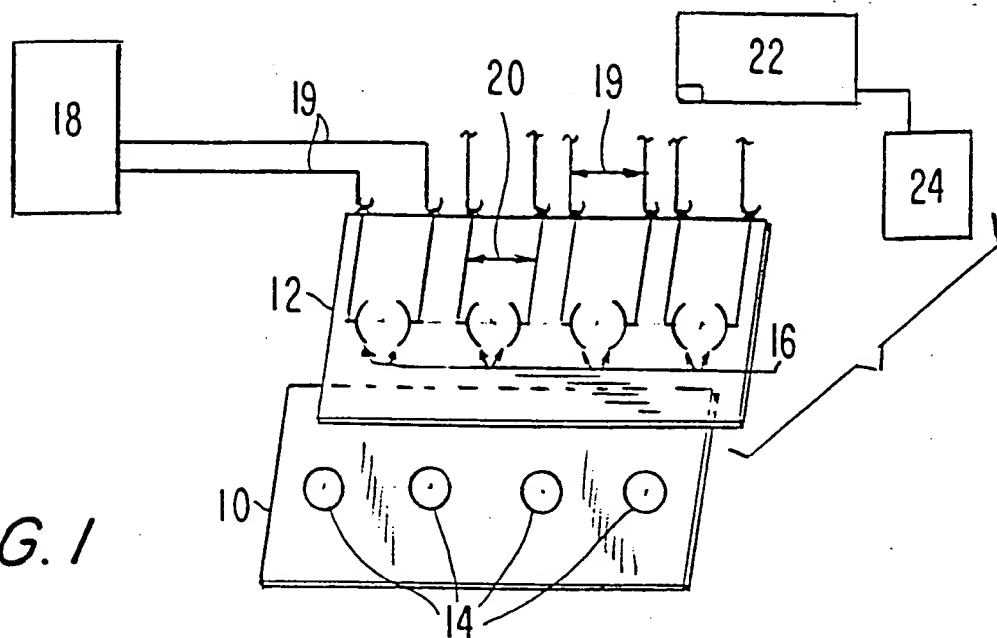


FIG. 1

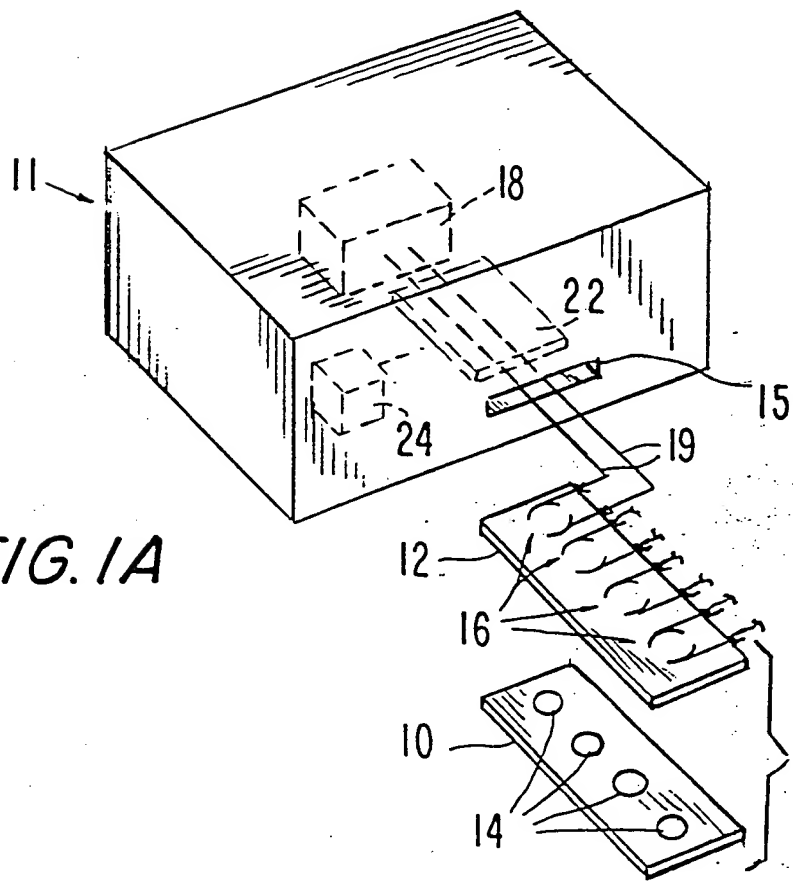


FIG. 1A

08/814141

2/26

FIG. 2

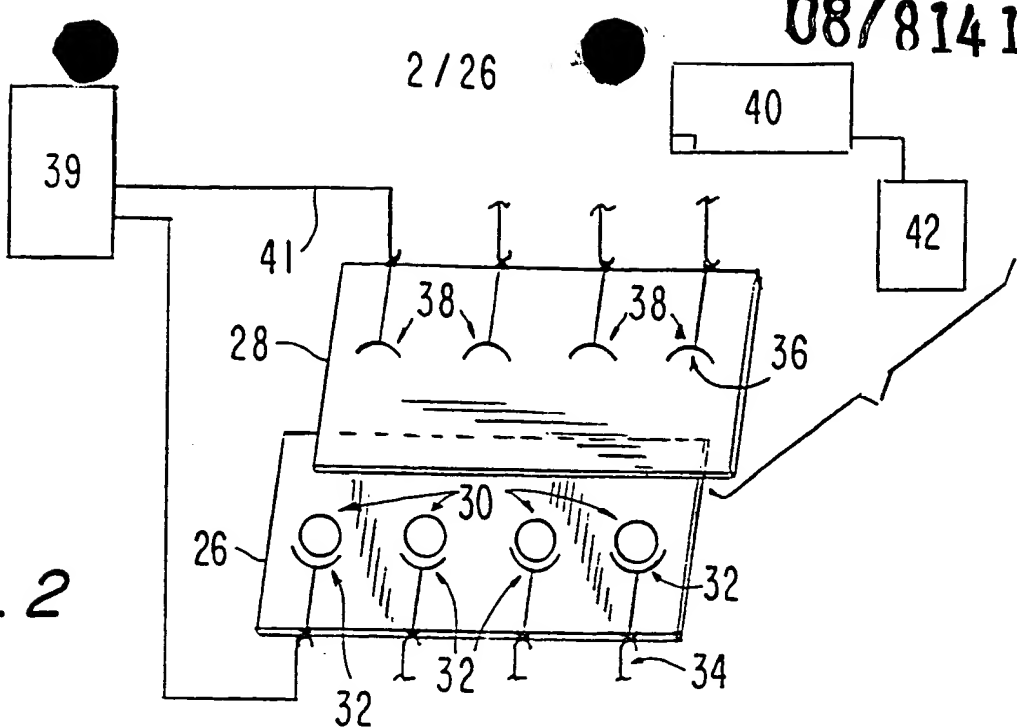


FIG. 3

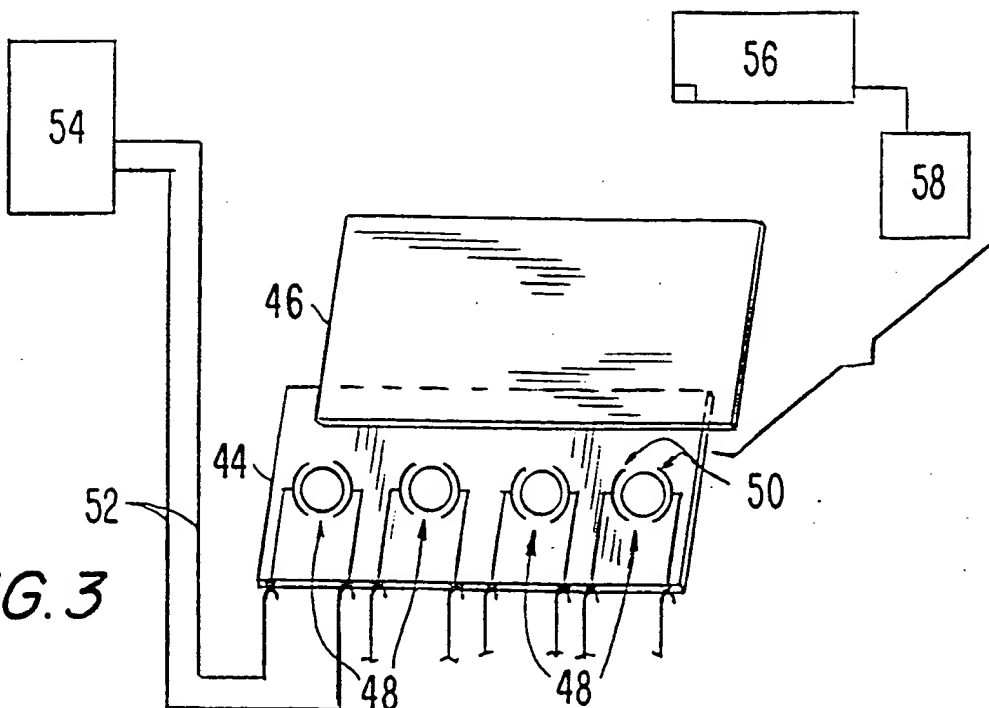
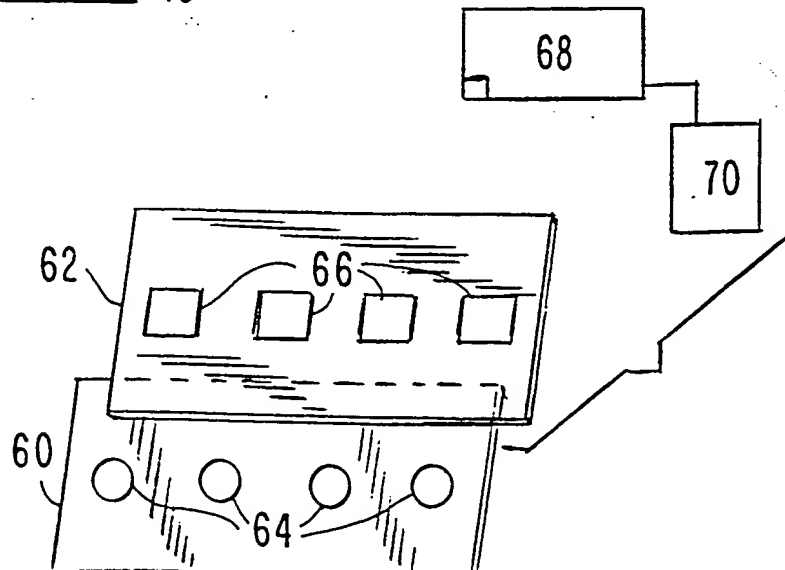
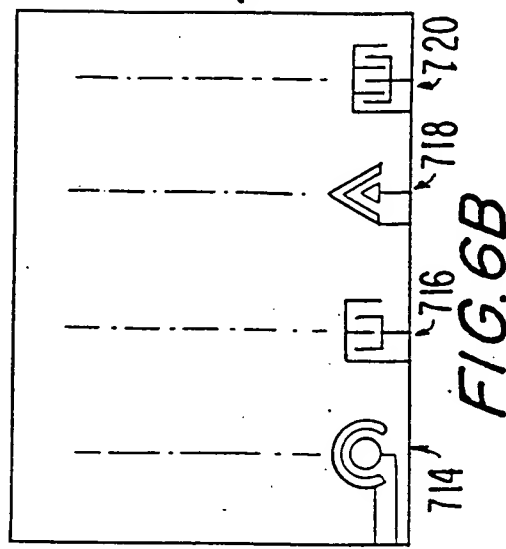
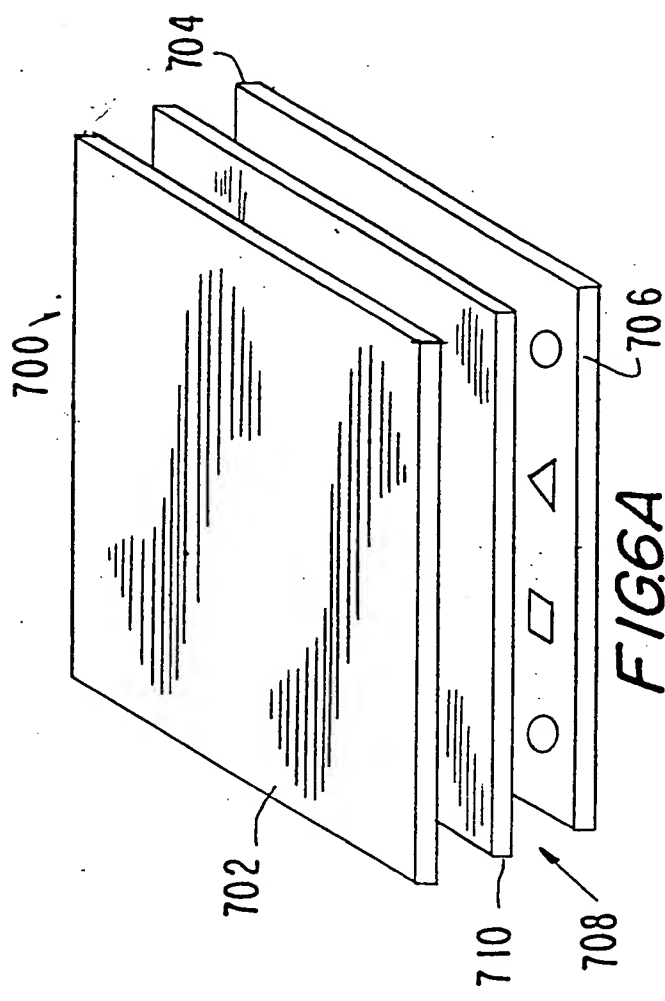
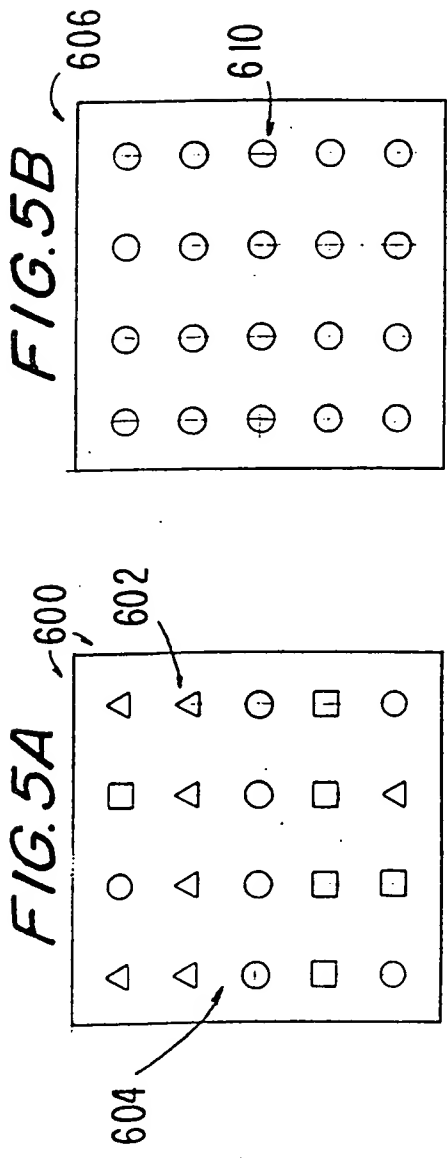


FIG. 4



08/814141

3/26



08/814141

FIG.7

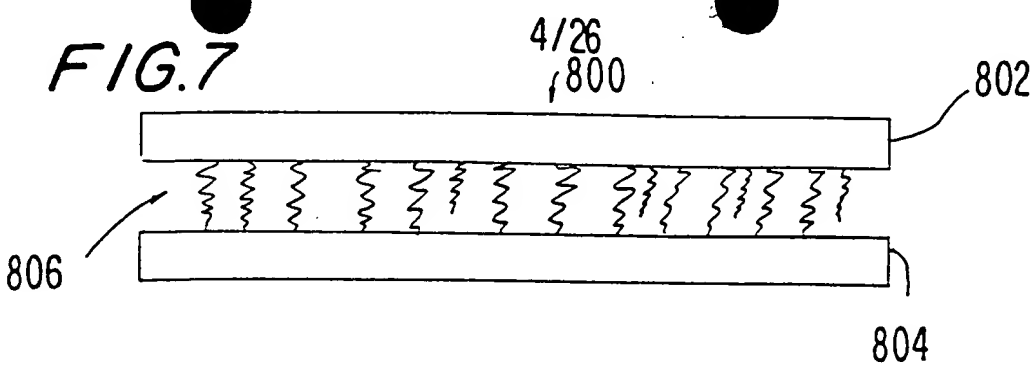


FIG.8

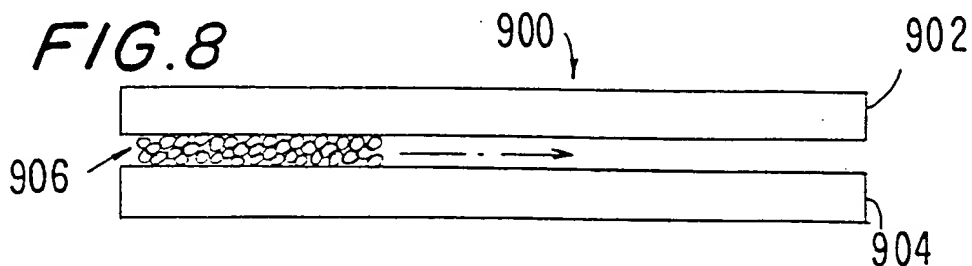


FIG.9

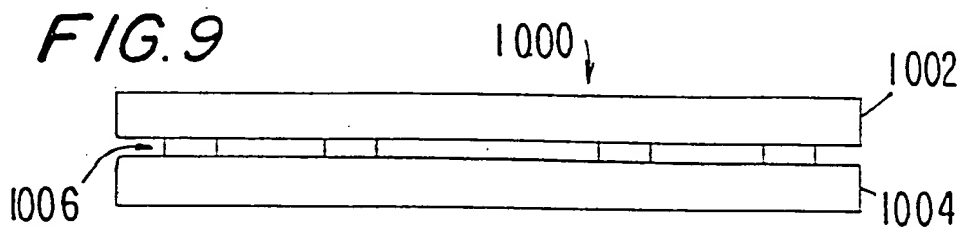
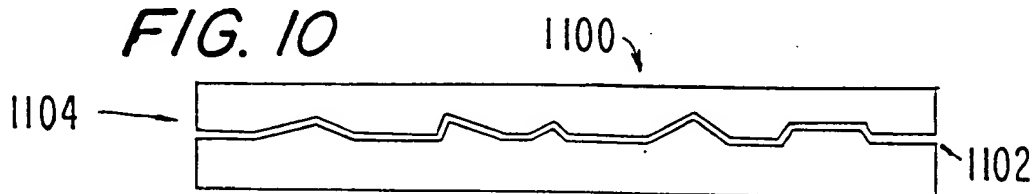


FIG.10



08/814141

FIG. 11

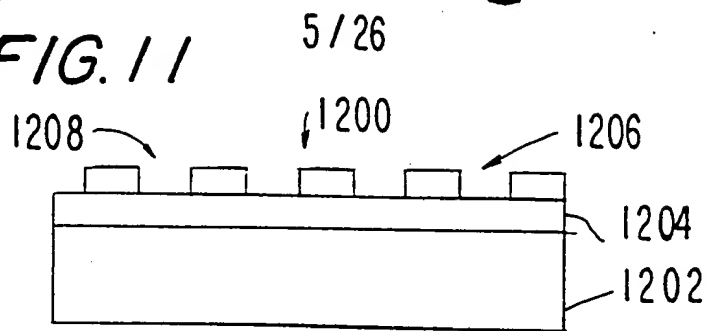


FIG. 12

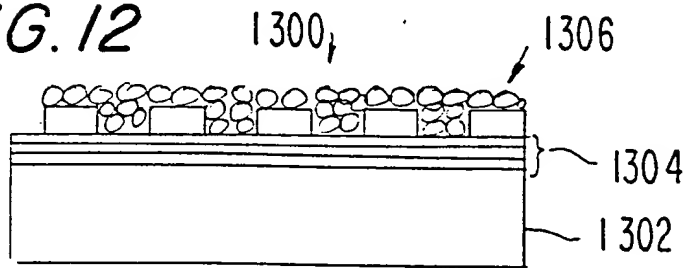
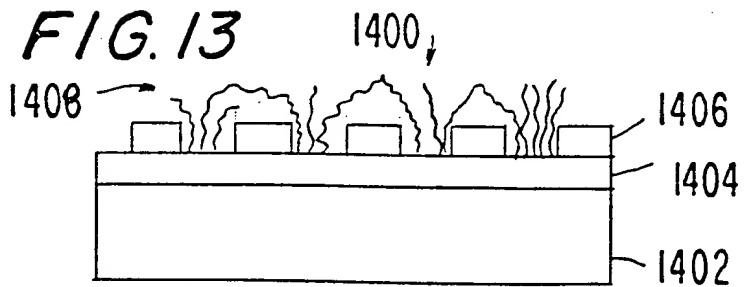


FIG. 13



08/814141

6/26

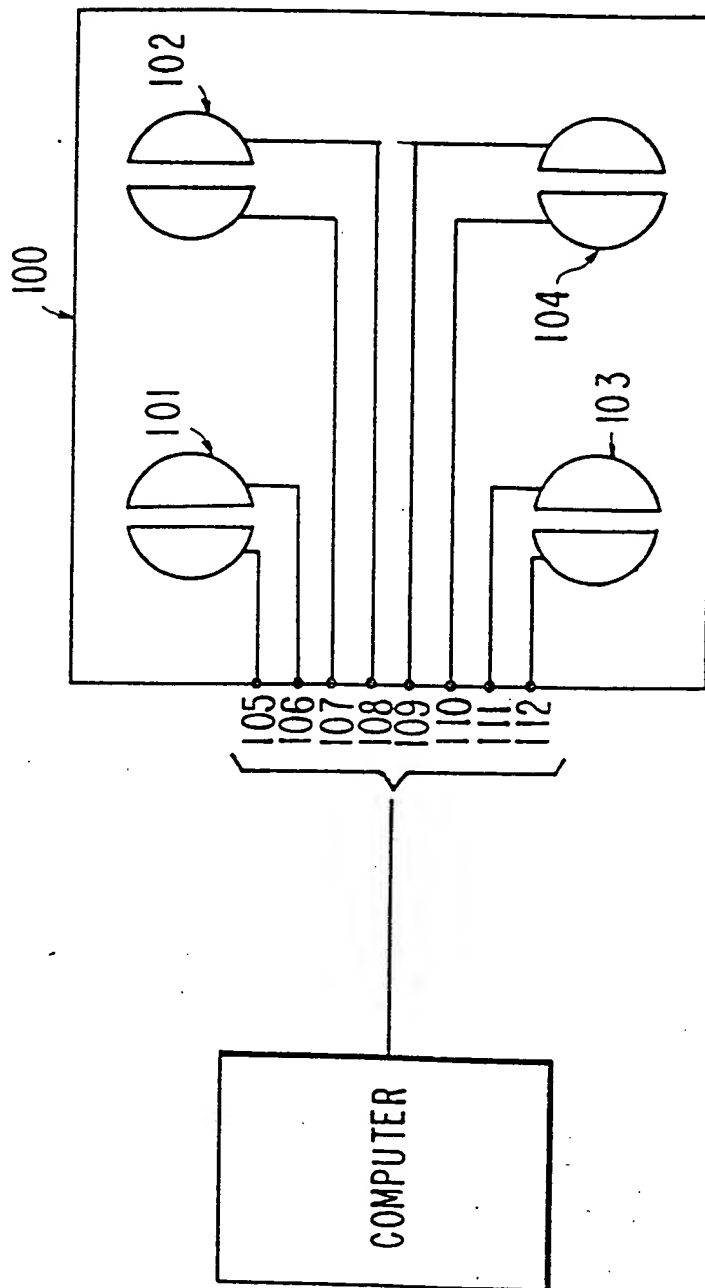


FIG. 14

08/814141

7 / 26

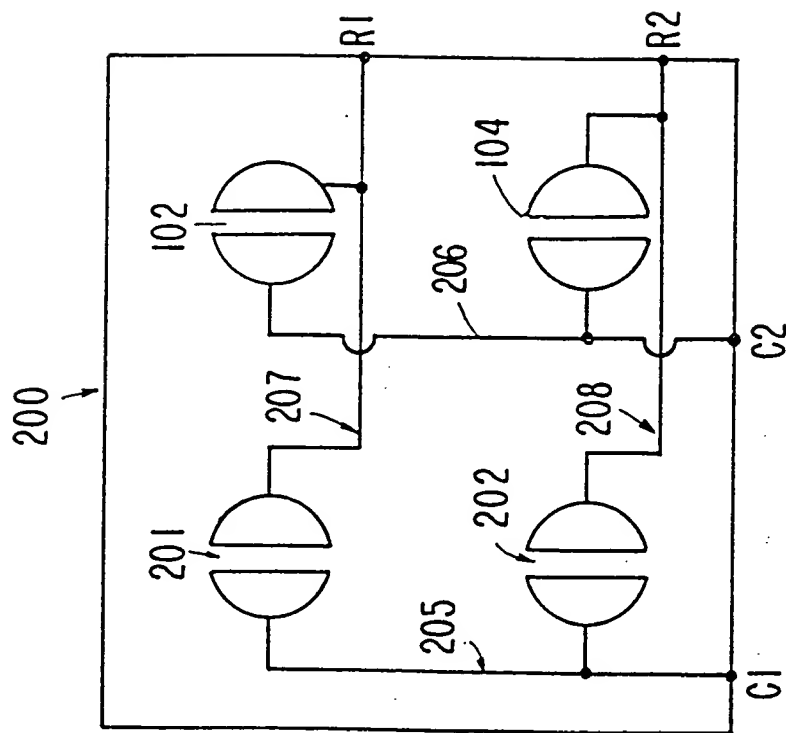


FIG. 15

08/814141

8/26

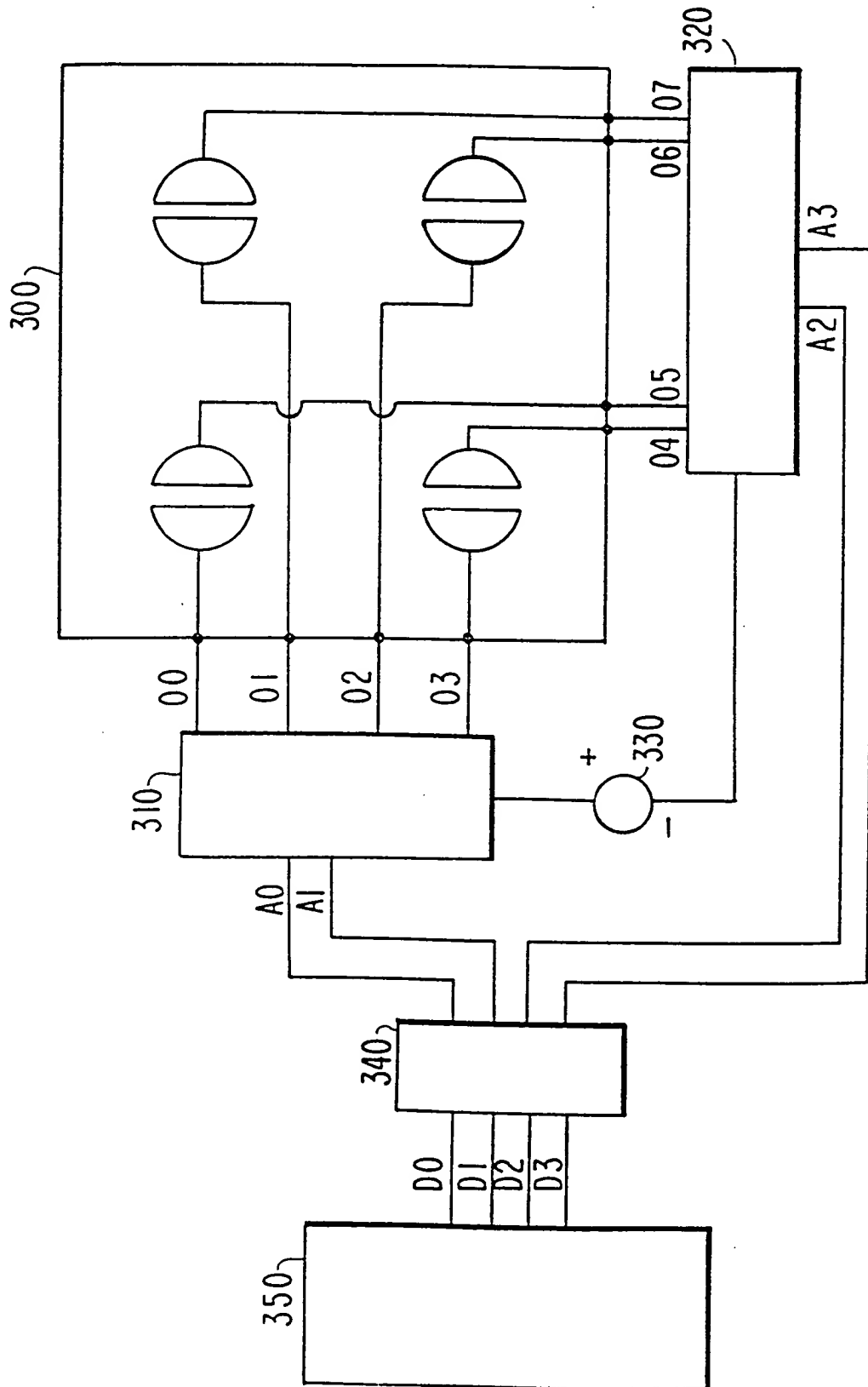


FIG. 16

08/814141

9/26

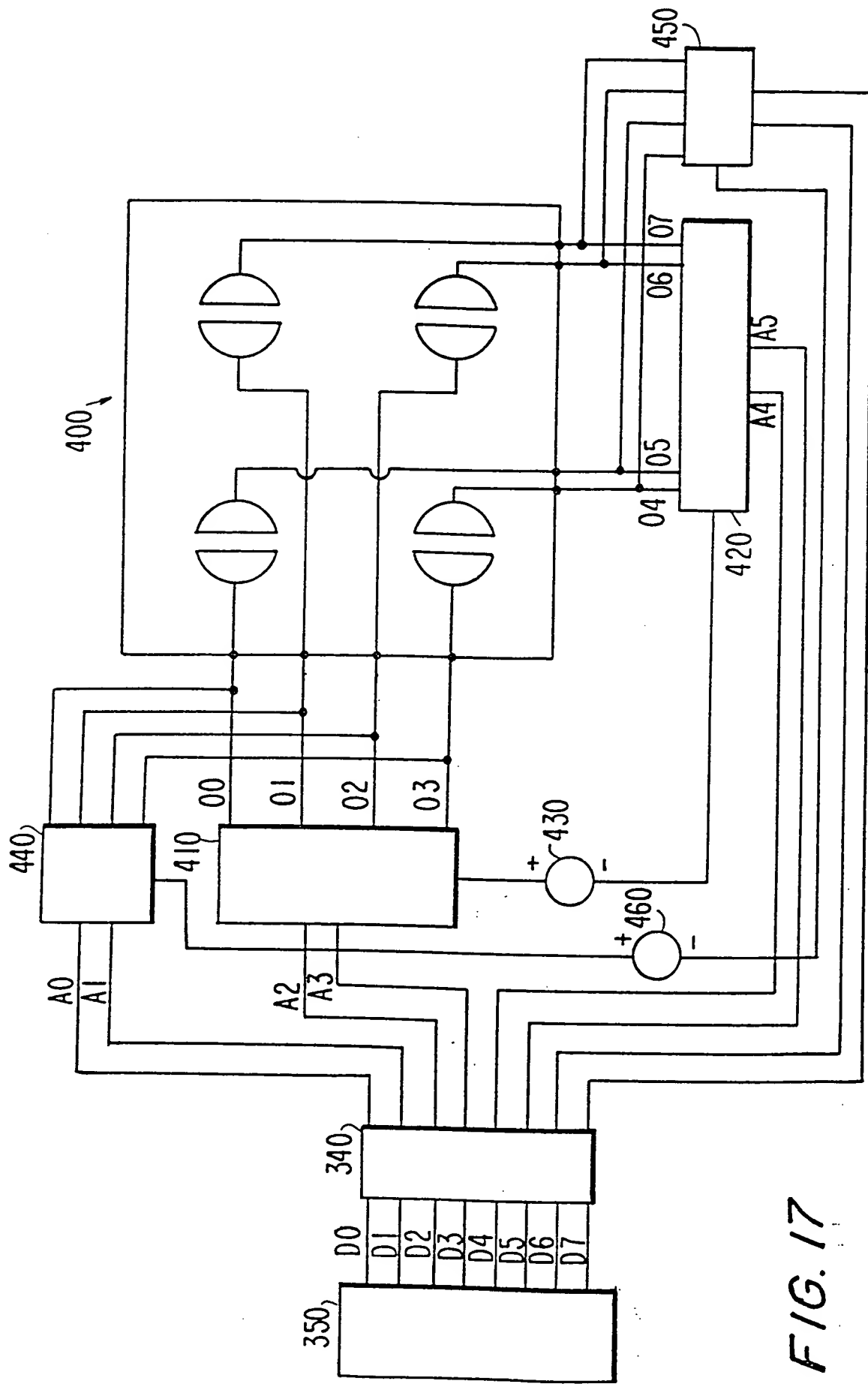


FIG. 17

08/814141

10/26

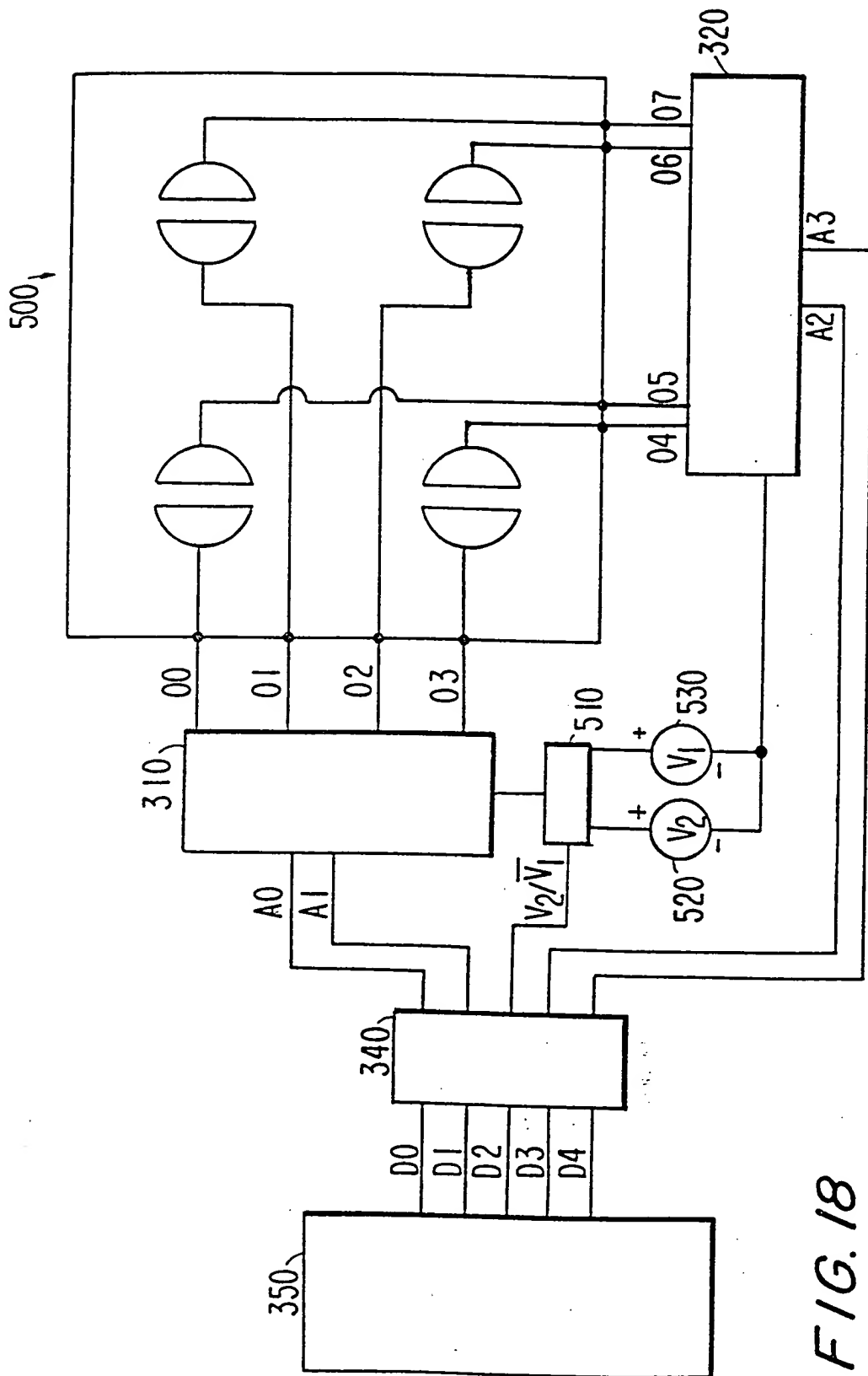


FIG. 18

08/814141



FIG. 19a



FIG. 19b 11/26



FIG. 19c



FIG. 19d



FIG. 19e

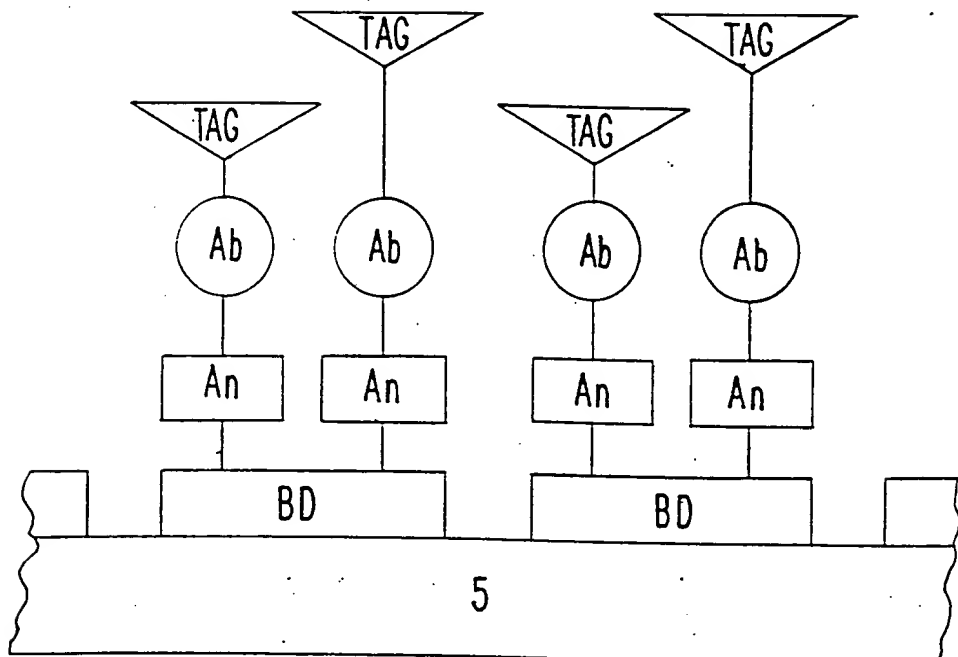


FIG. 20

08/814141 10/30/69

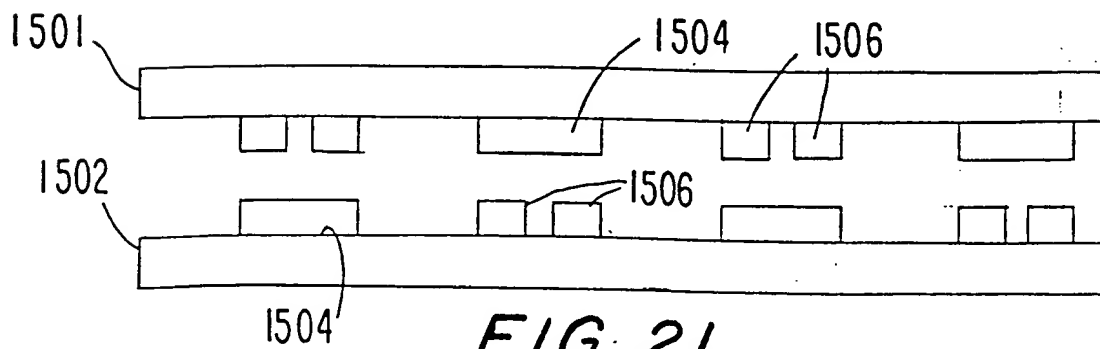
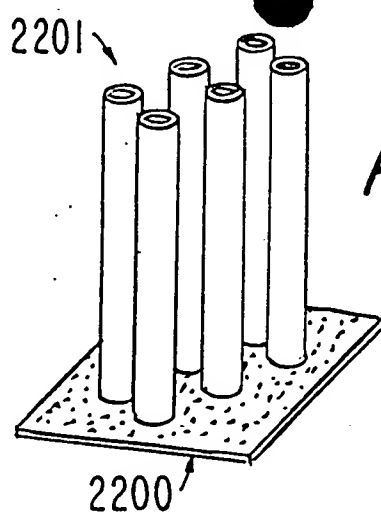


FIG. 21



12/26

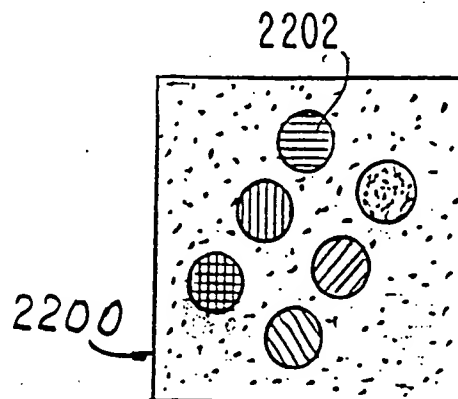
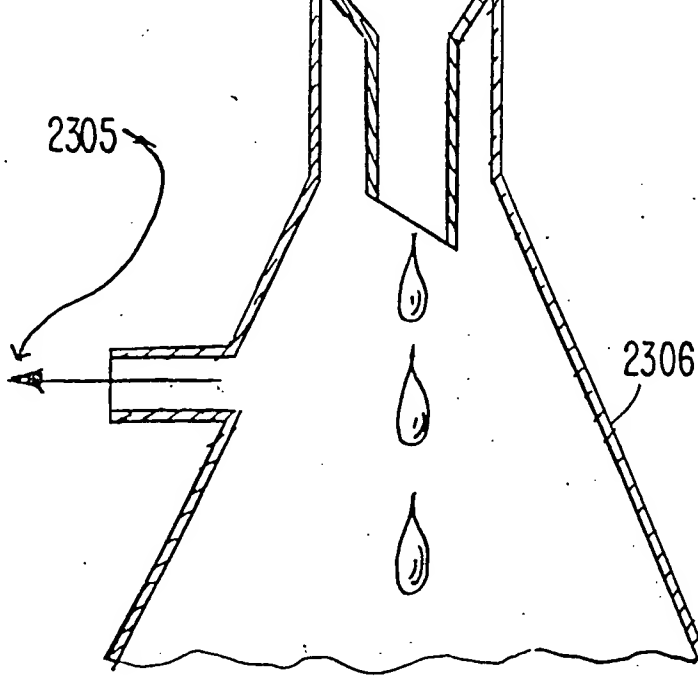
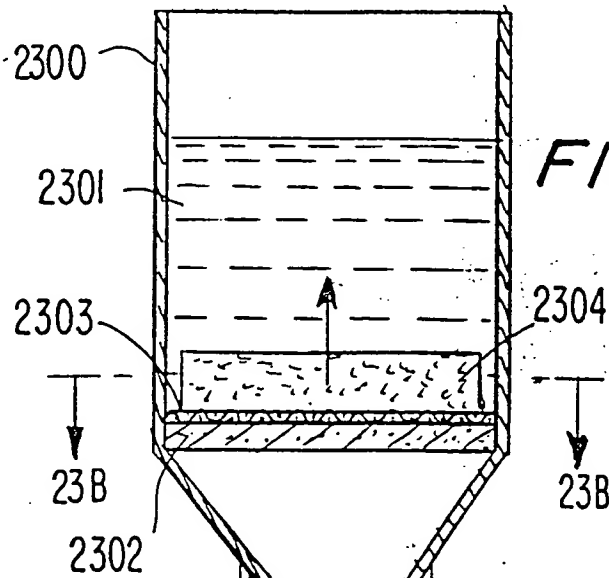


FIG. 22B



08/814141

13/26

FIG. 24

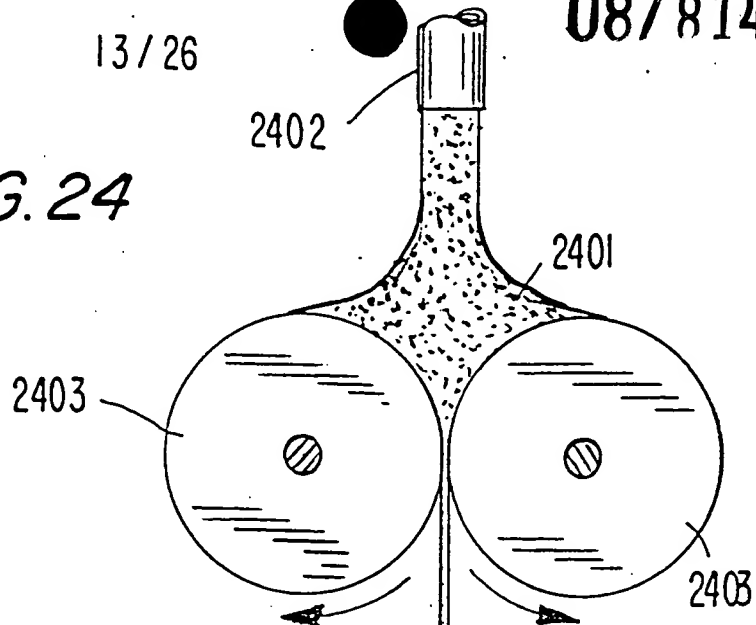


FIG. 25

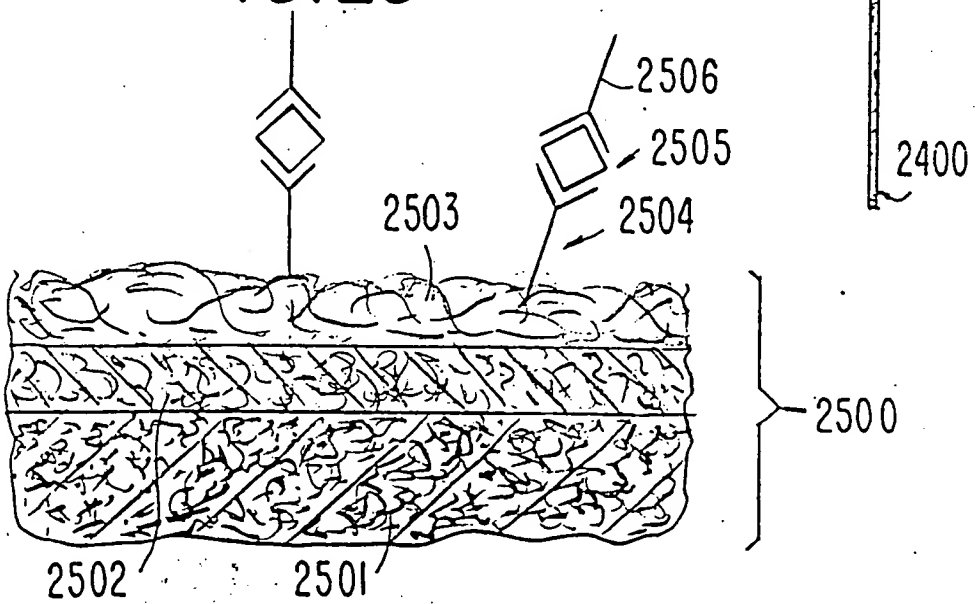
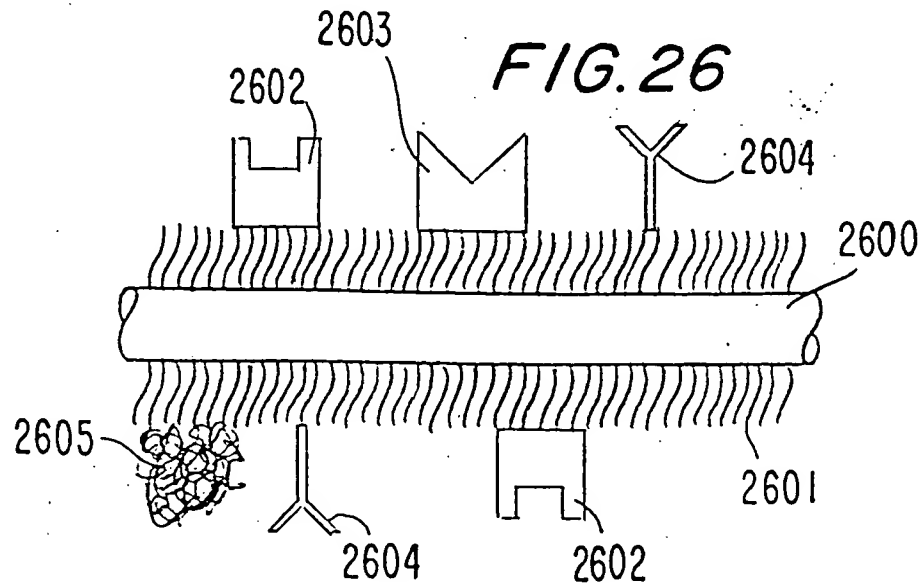


FIG. 26



08/814141

FIG. 27

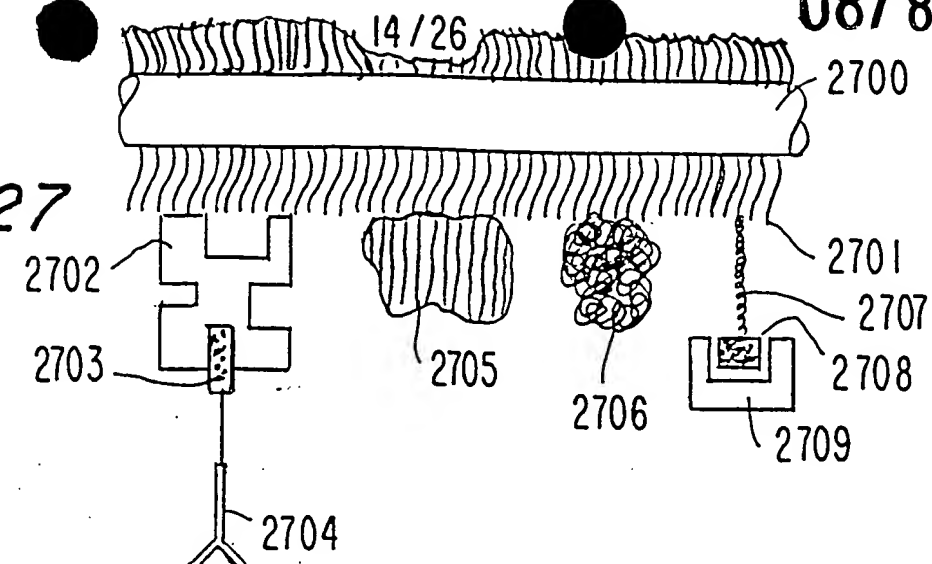


FIG. 28

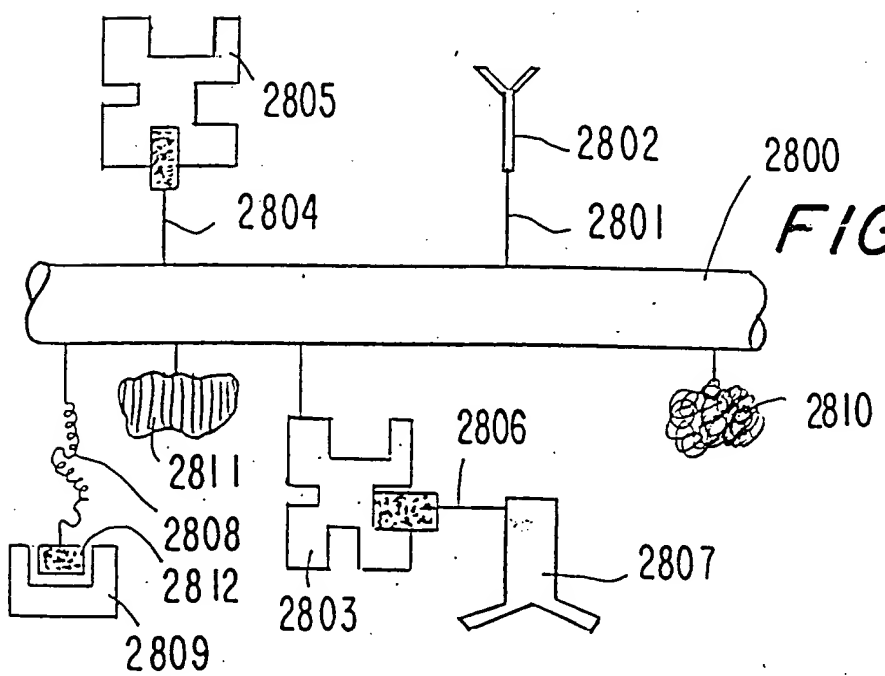
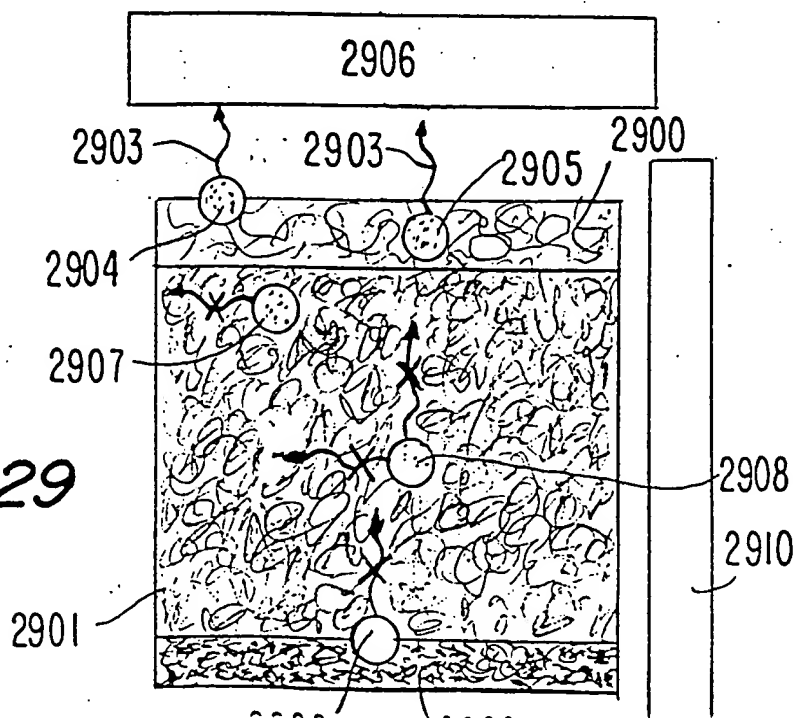


FIG. 29



08/814141

FIG.30A

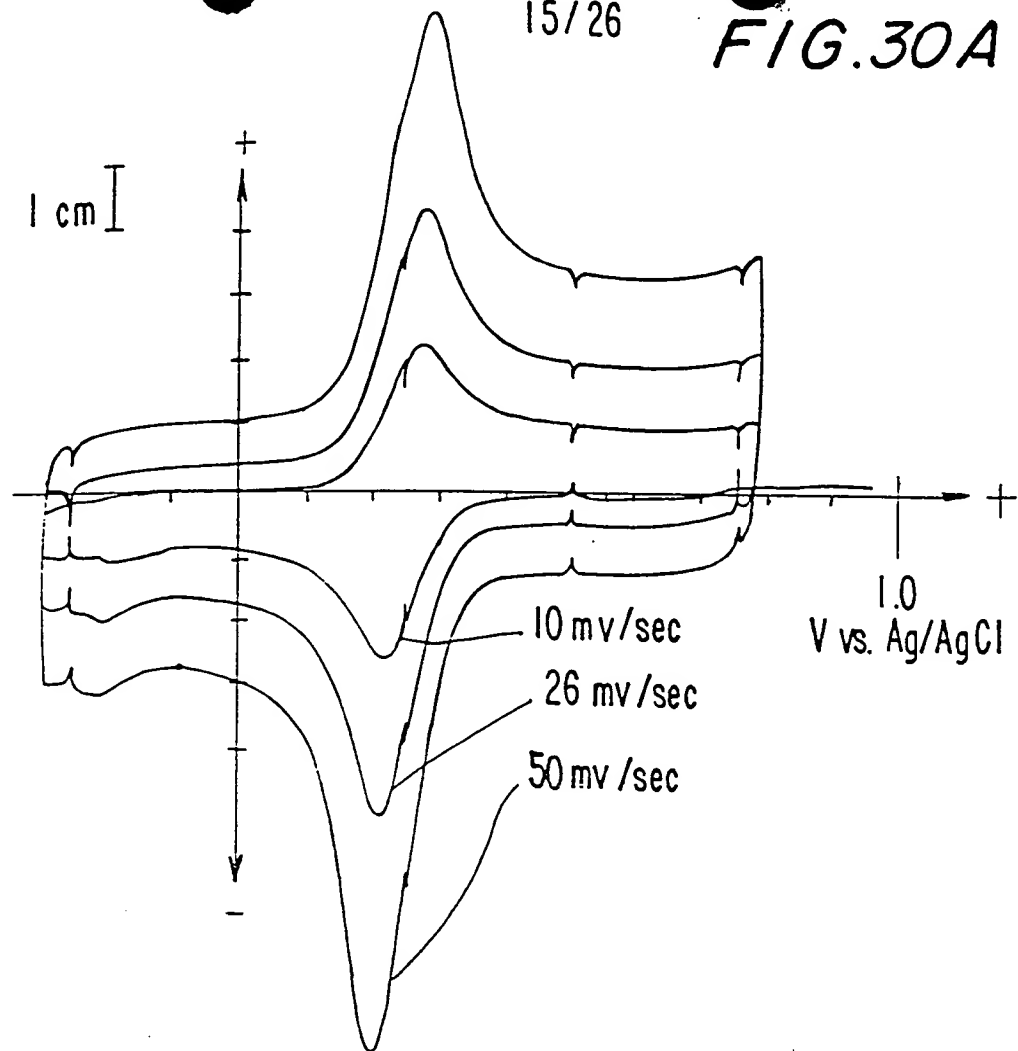
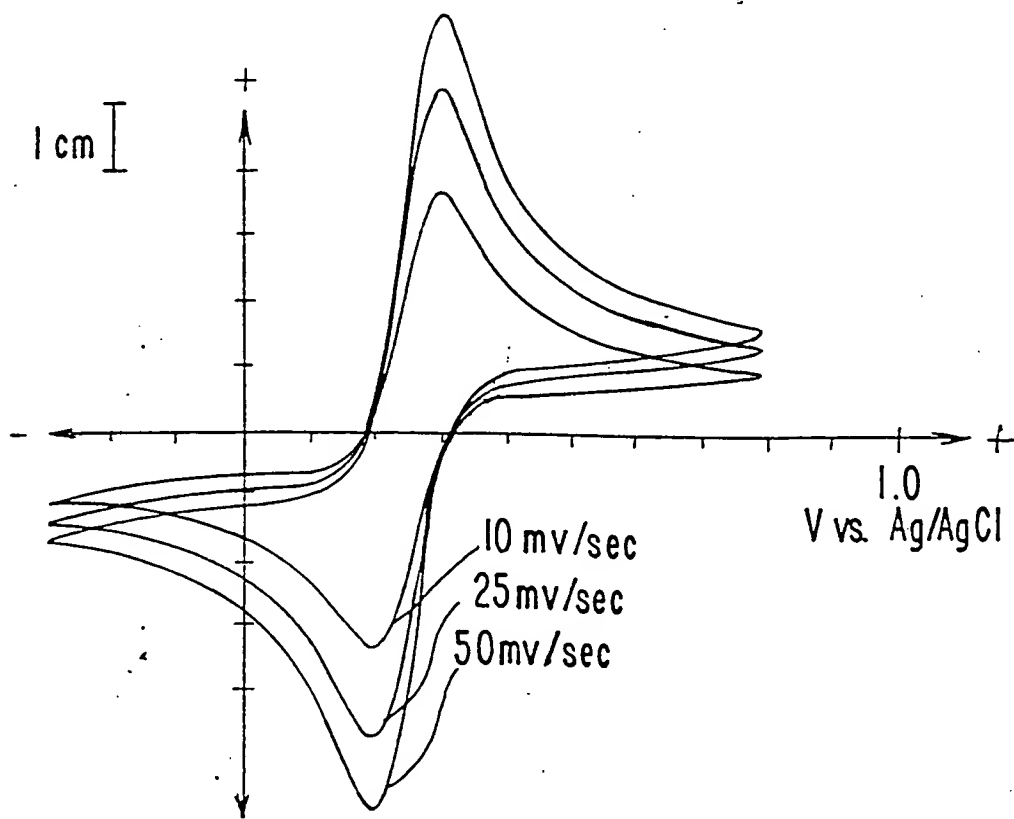


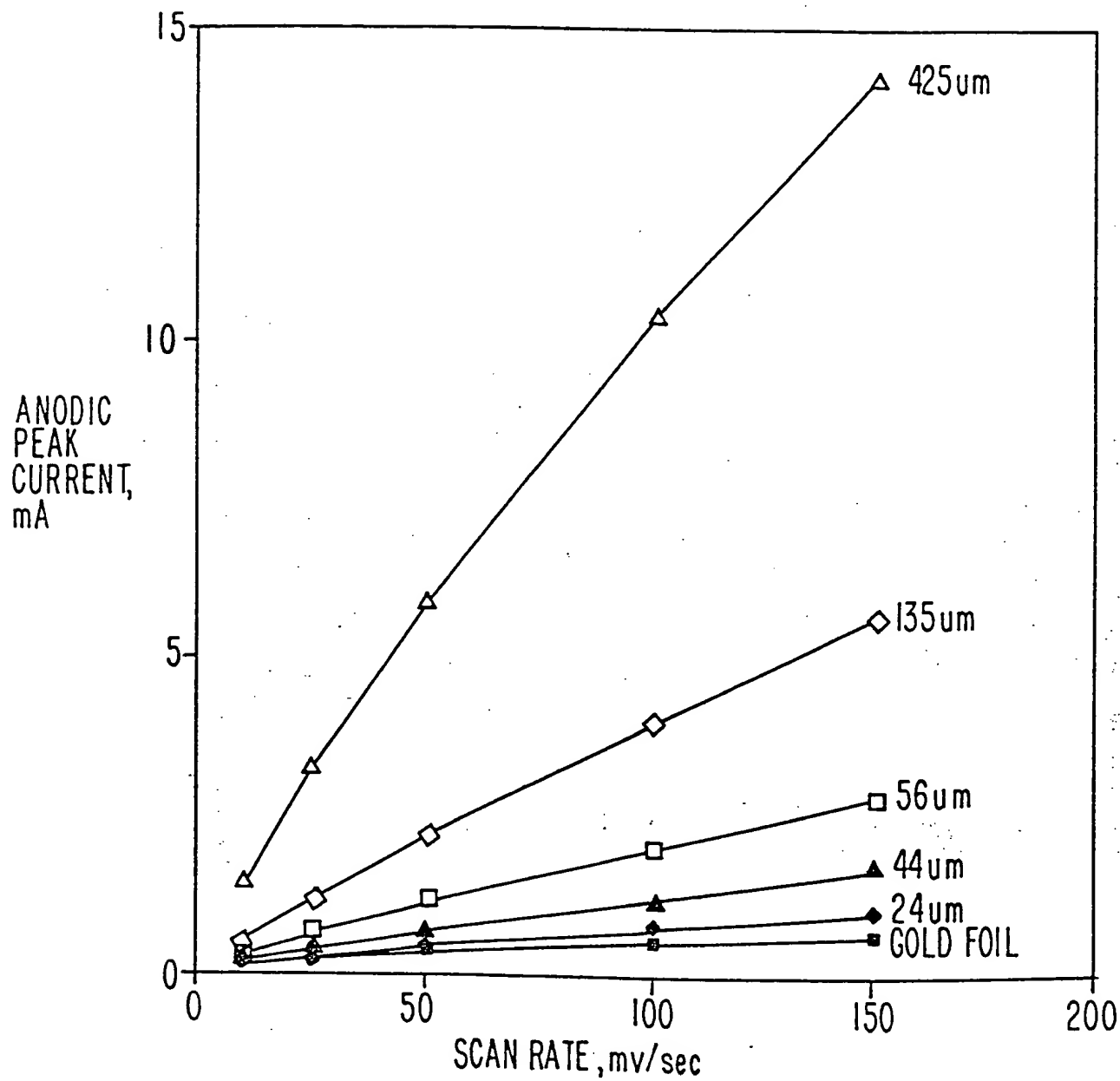
FIG.30B



16/26

08/814141

FIG. 31

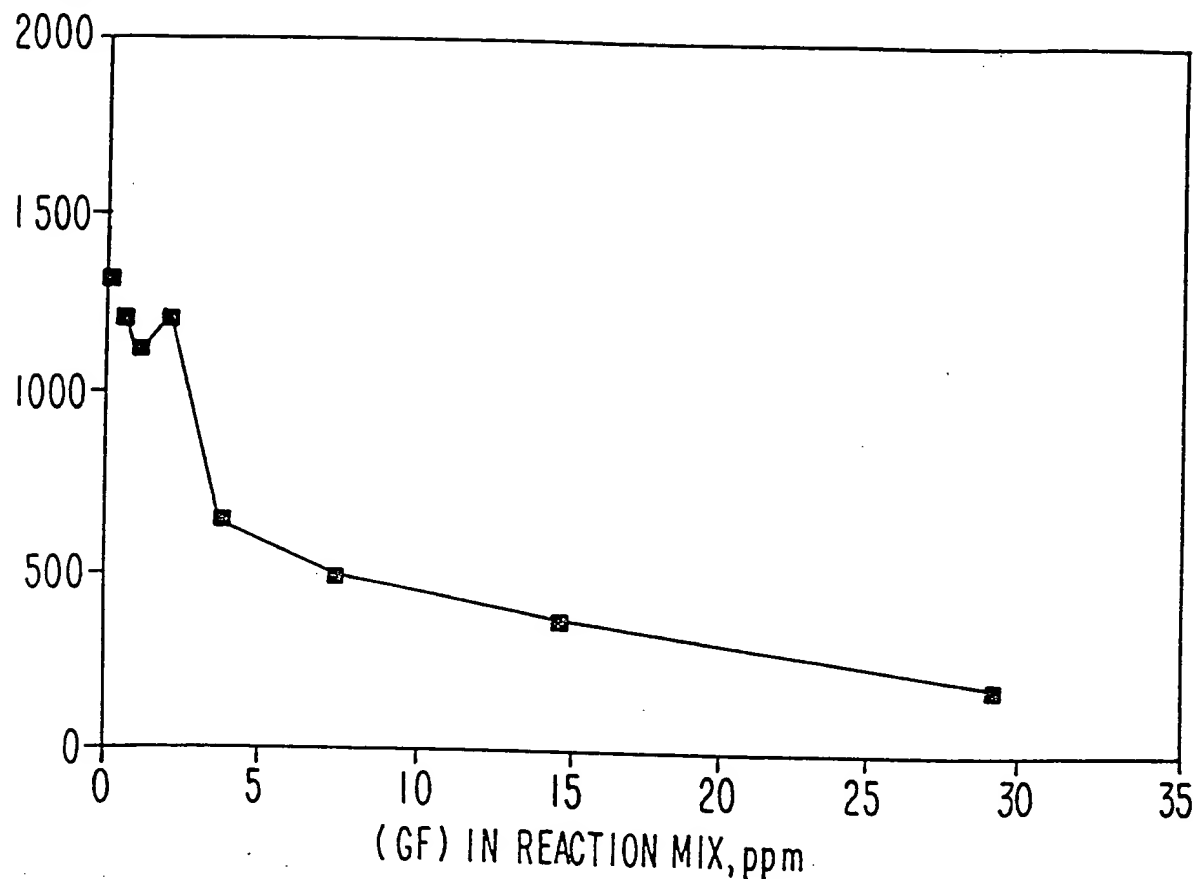


08/814141

17/26

ECL PEAK INTENSITY

FIG. 32



ECL PEAK INTENSITY
OF SUPERNANTANT

FIG. 33

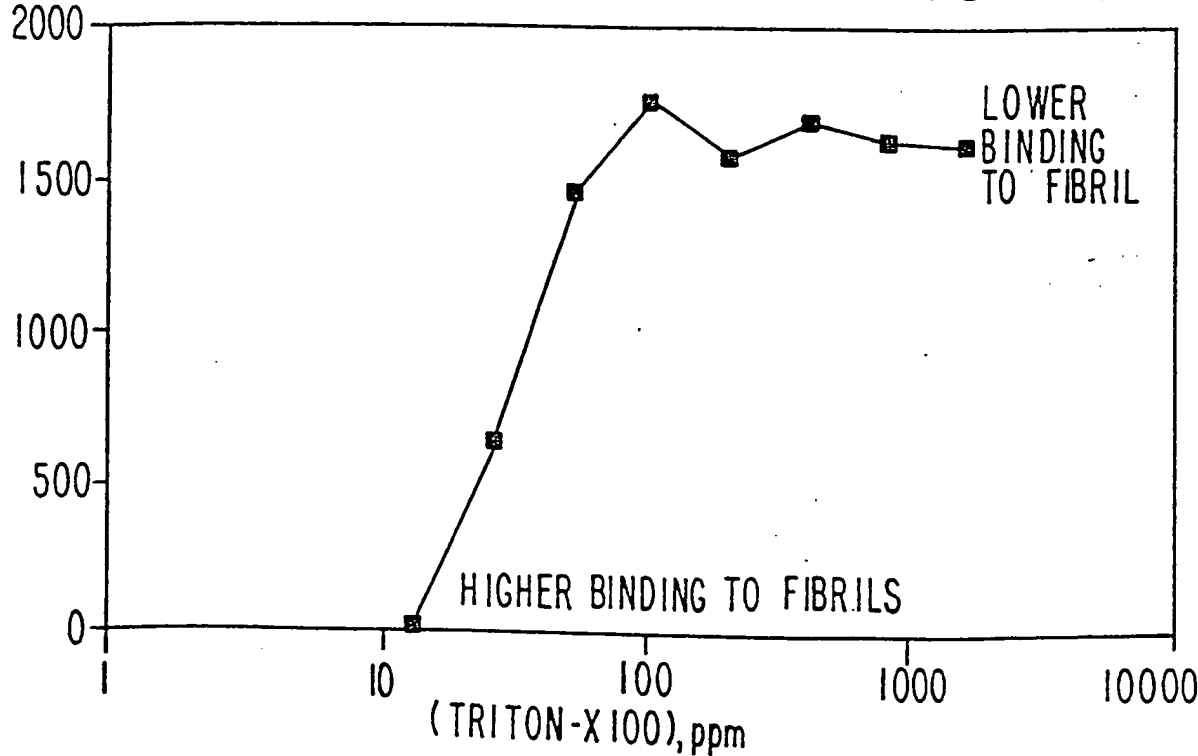
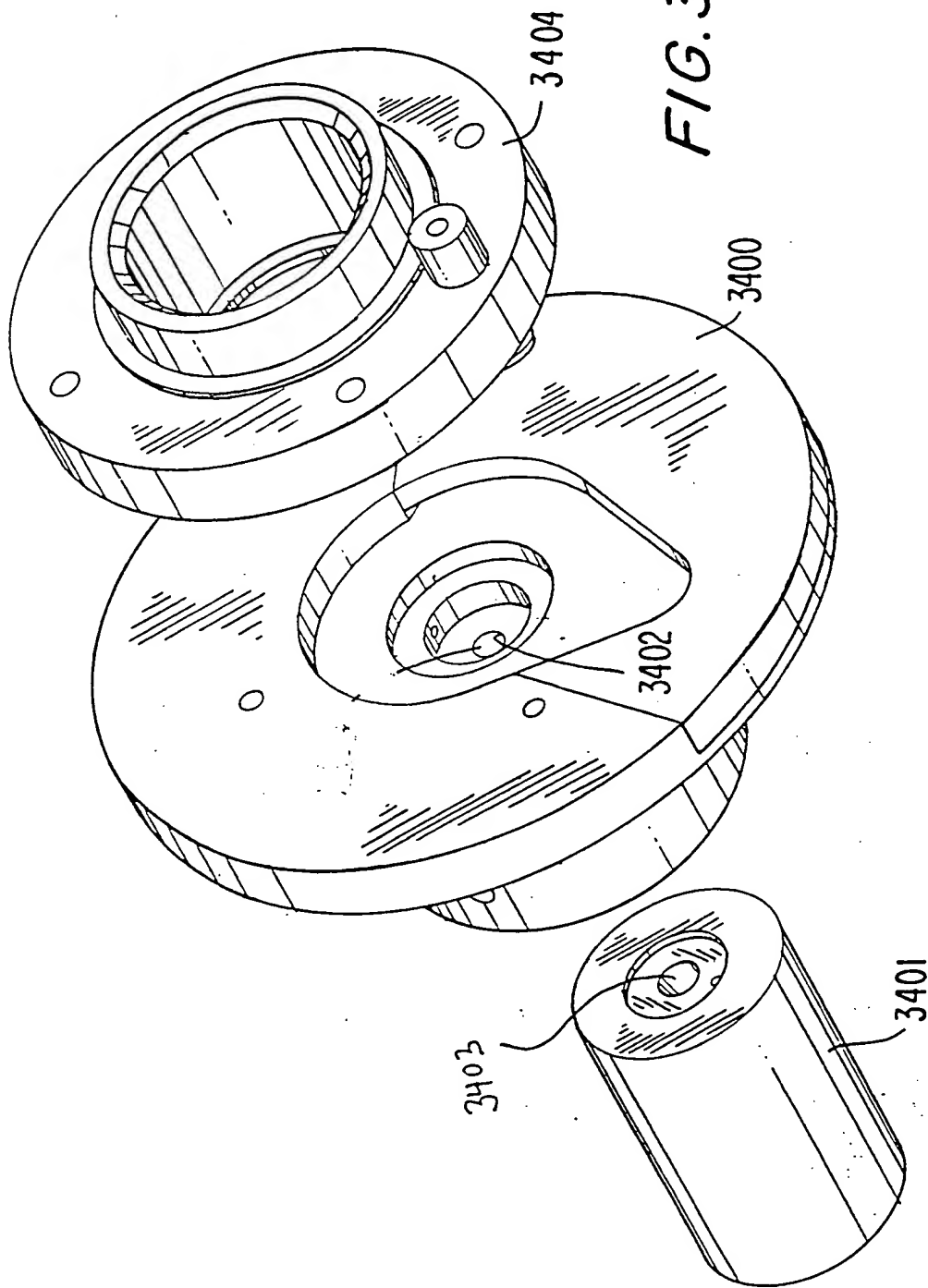


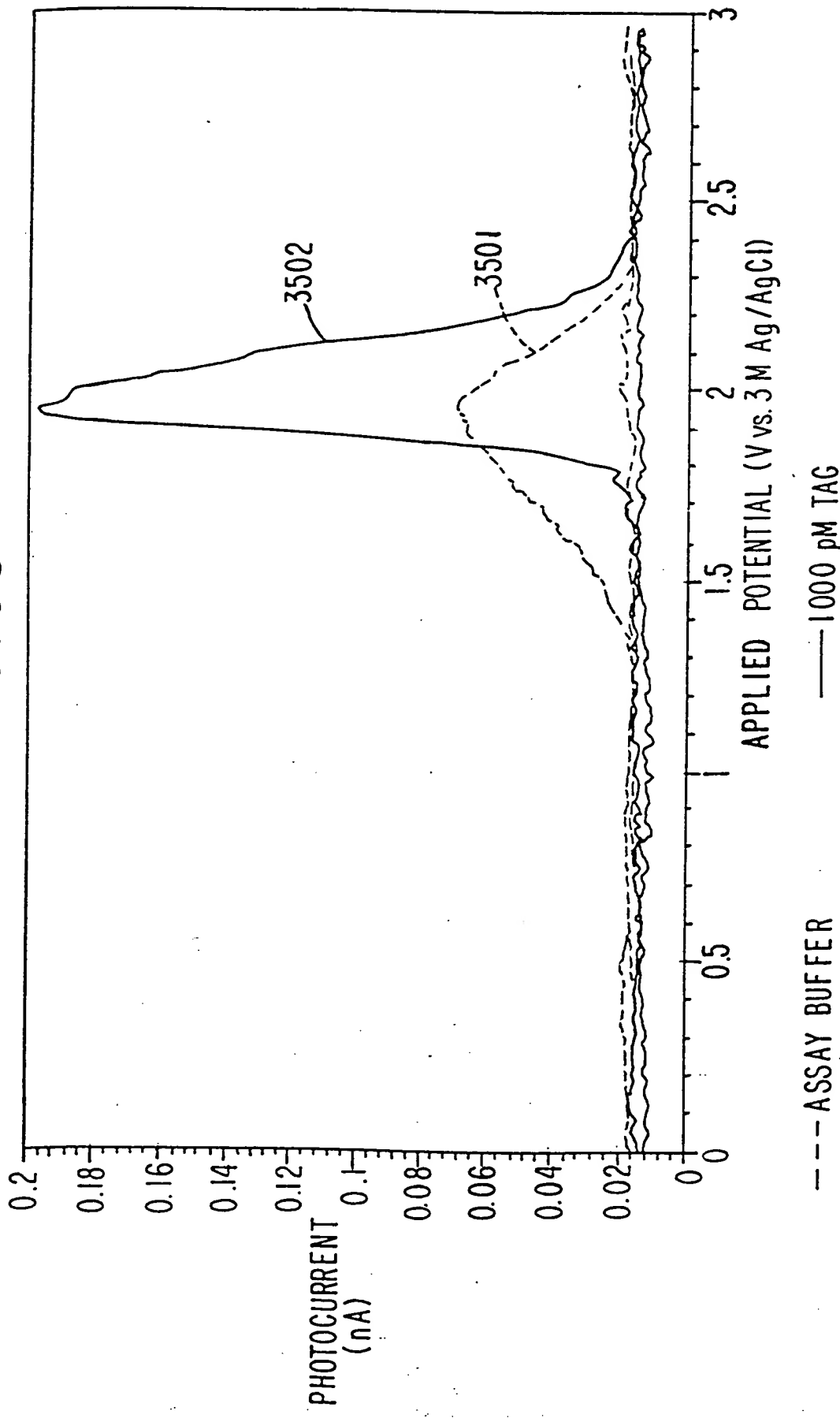
FIG. 34



19/26

08/814141

FIG. 35



08/814141

FIG. 36

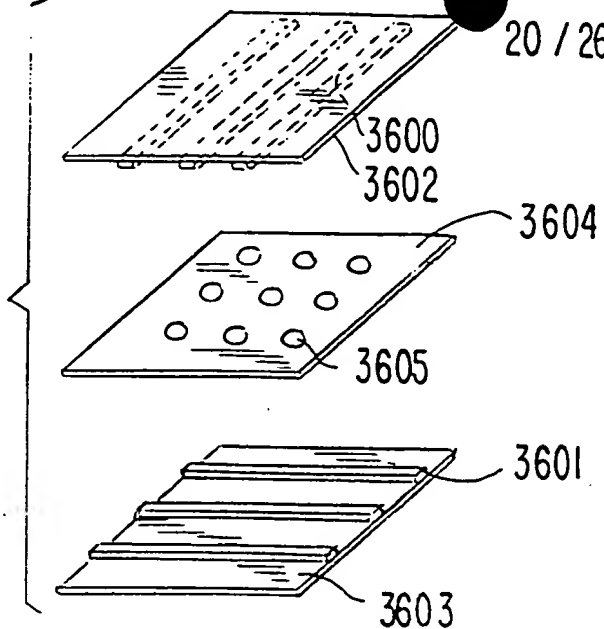


FIG. 37

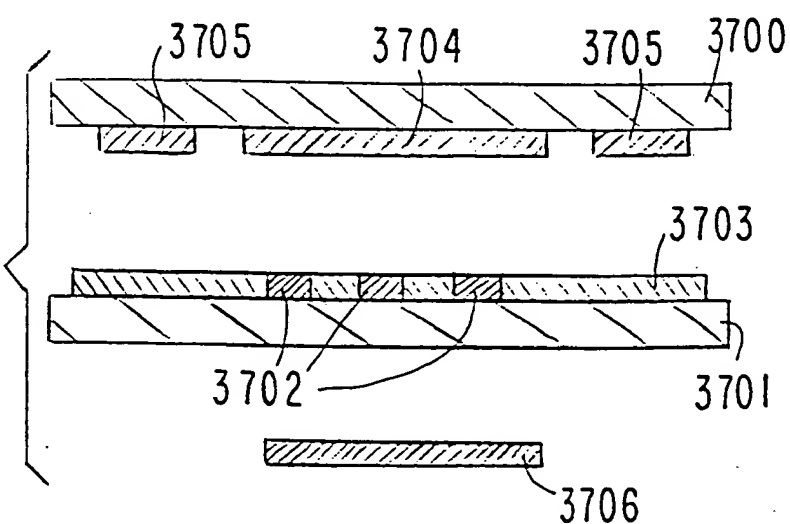


FIG. 38

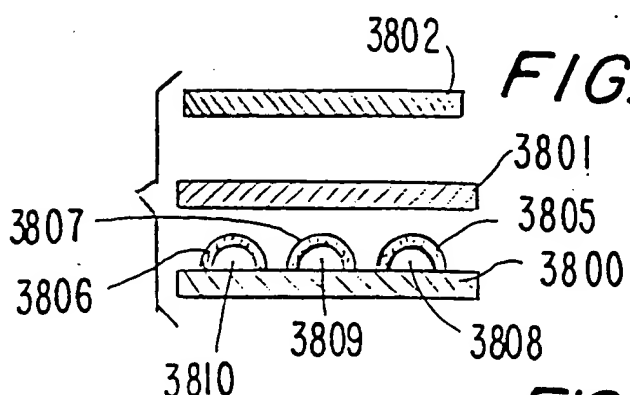
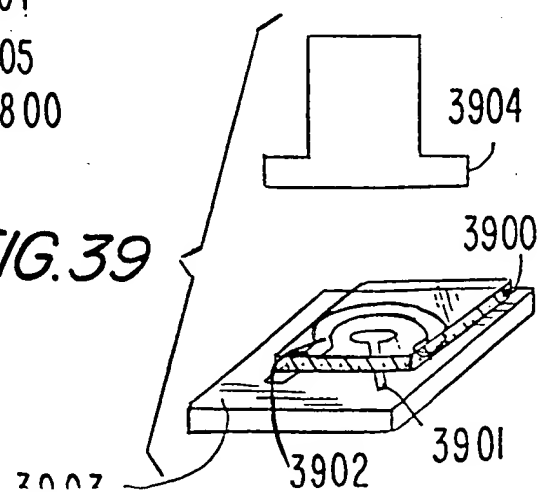


FIG. 39



08/814141

FIG. 40

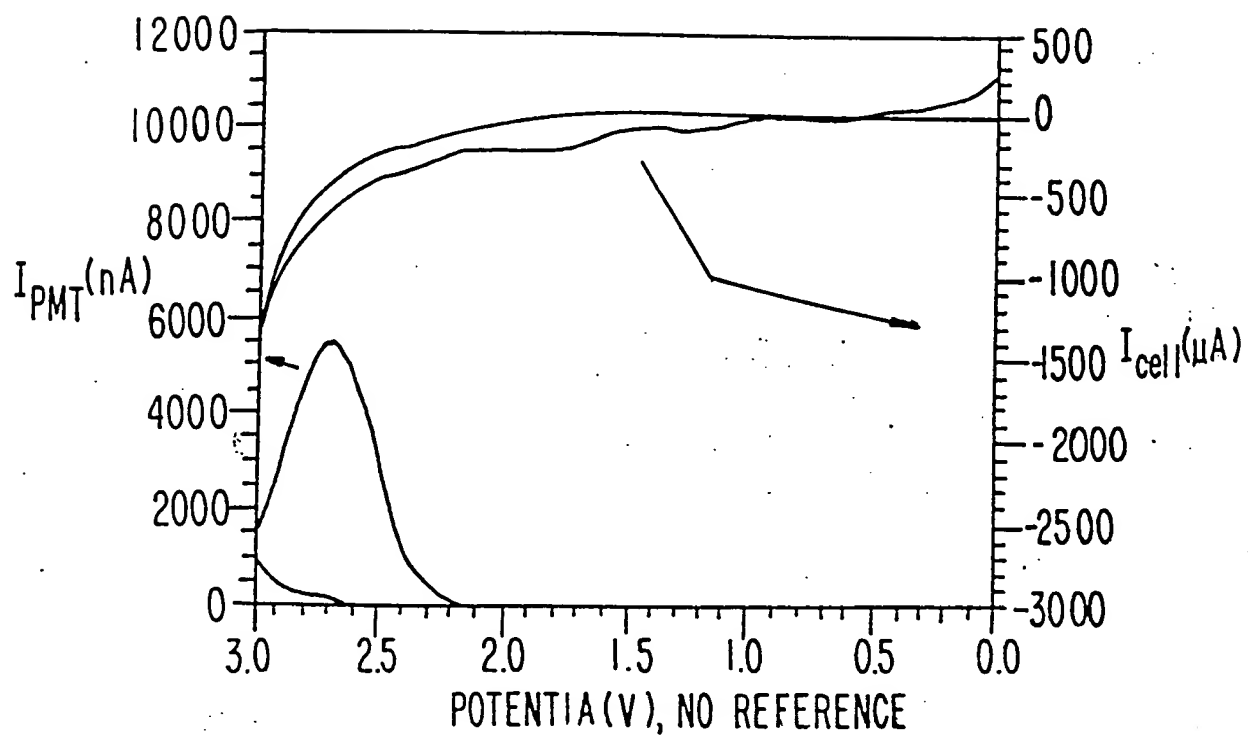
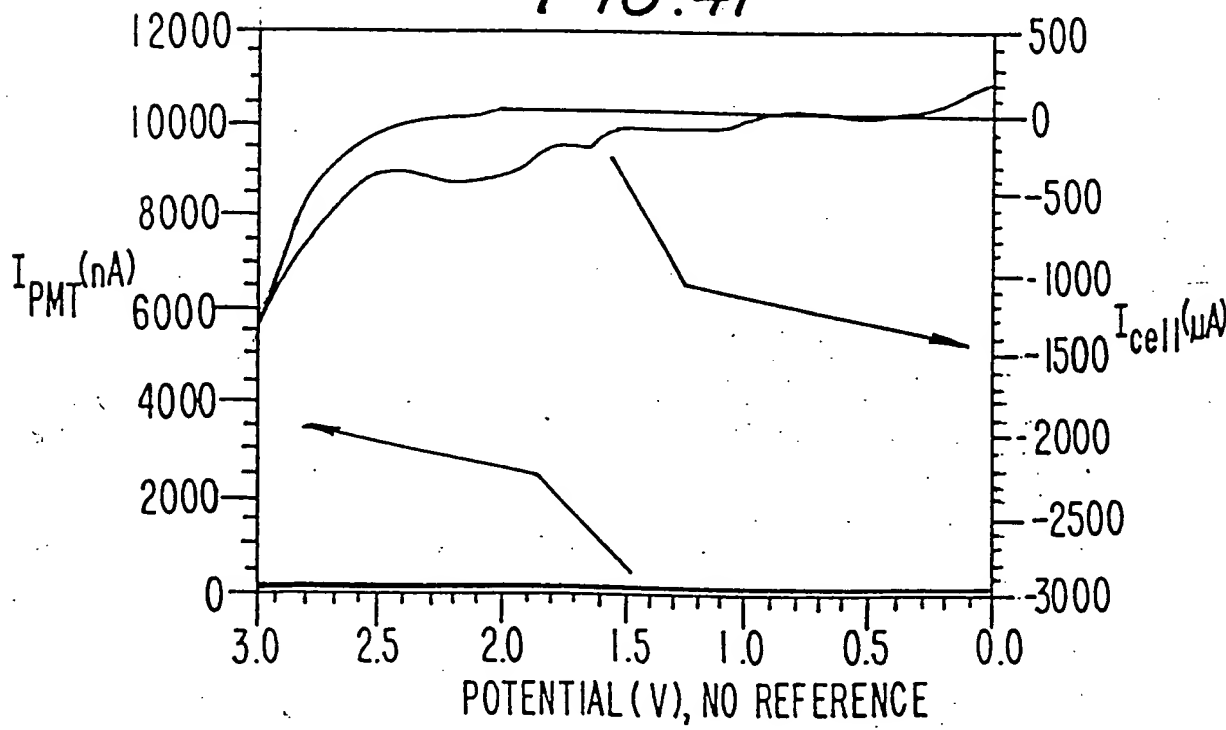


FIG. 41



22 6 9 10 E 0 " TAG Ab

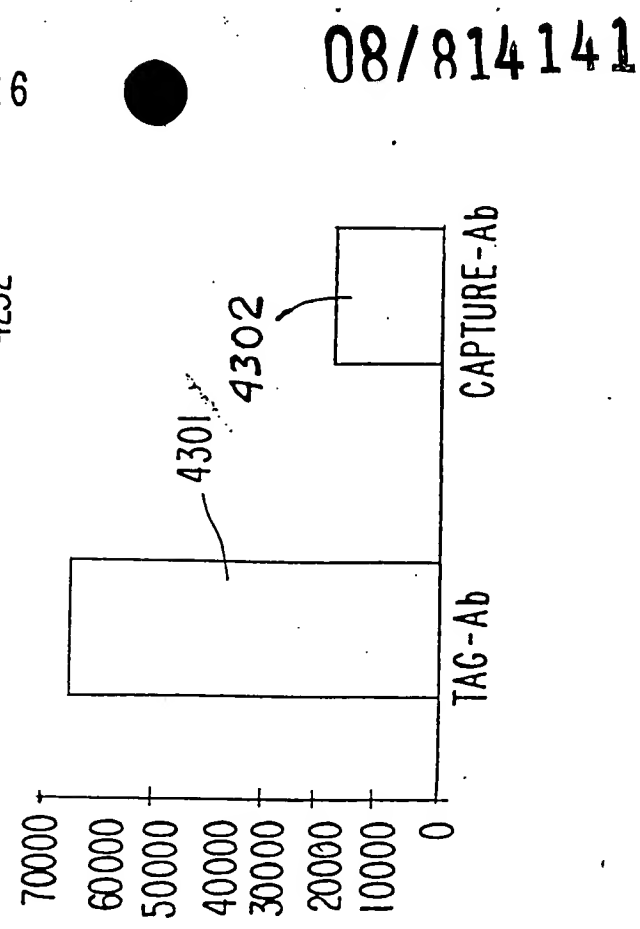
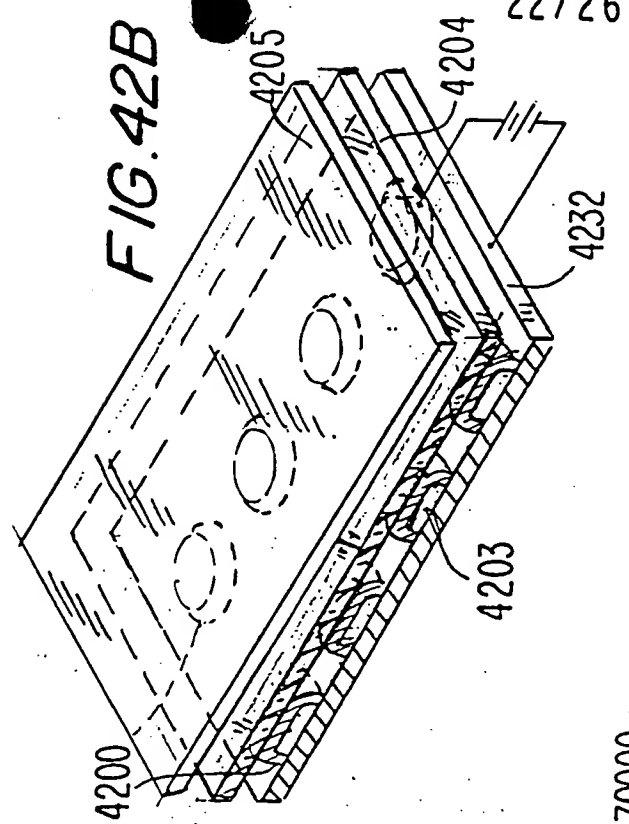
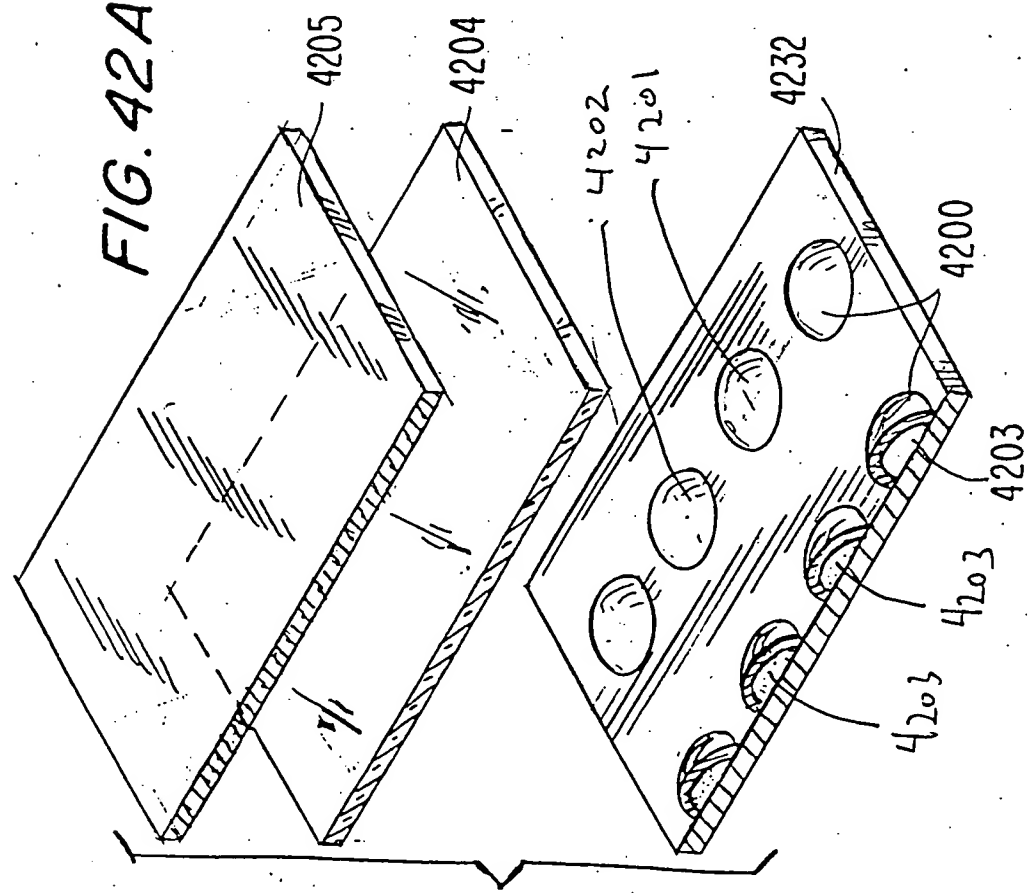


FIG. 44A

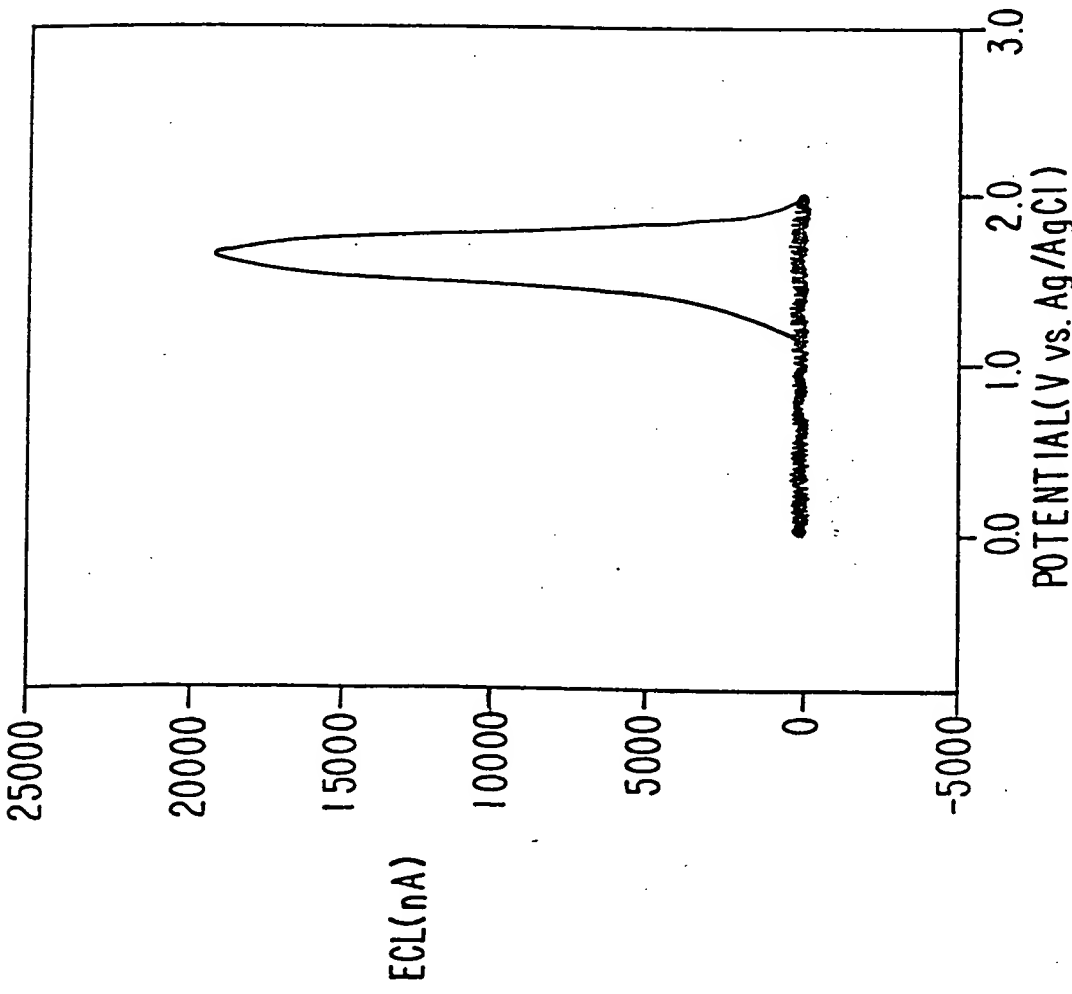
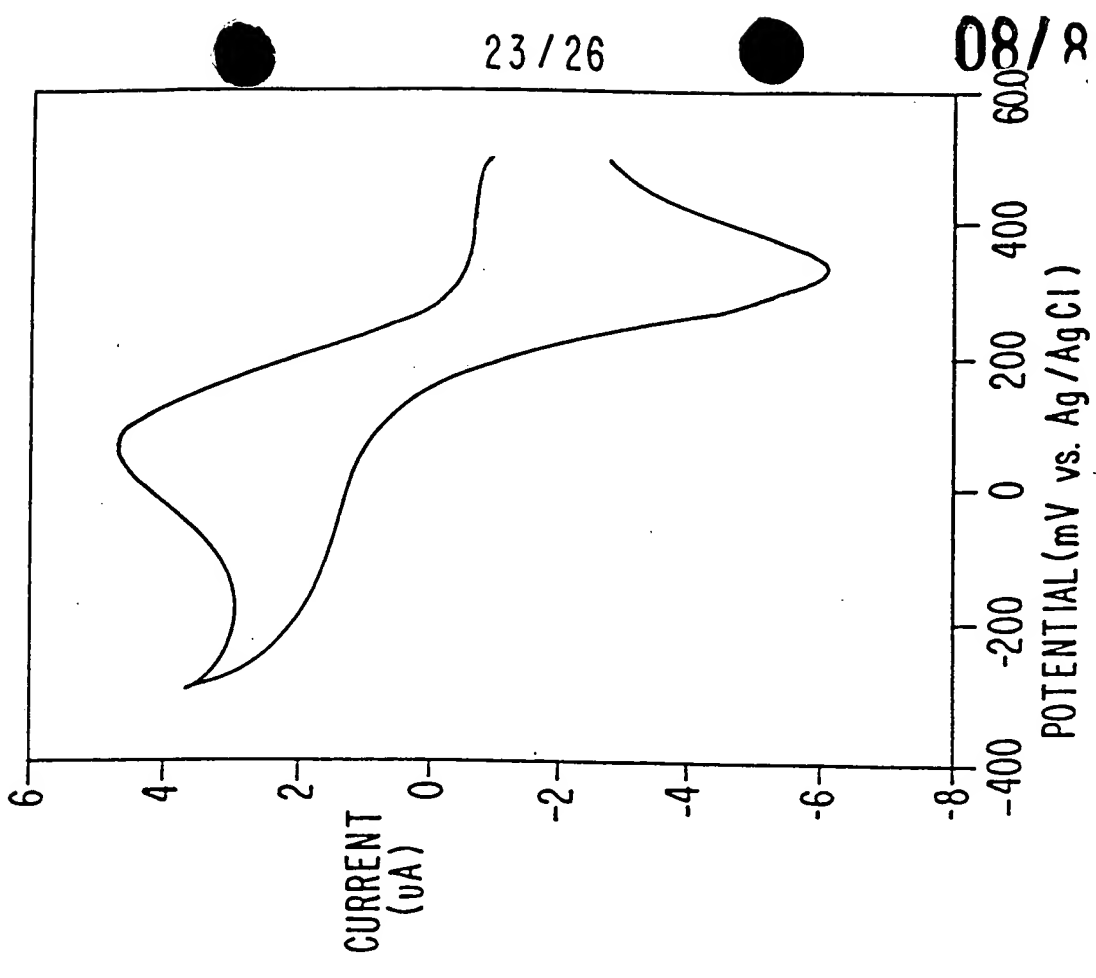


FIG. 44B



08/08/14 14:14 23°C

FIG. 45A

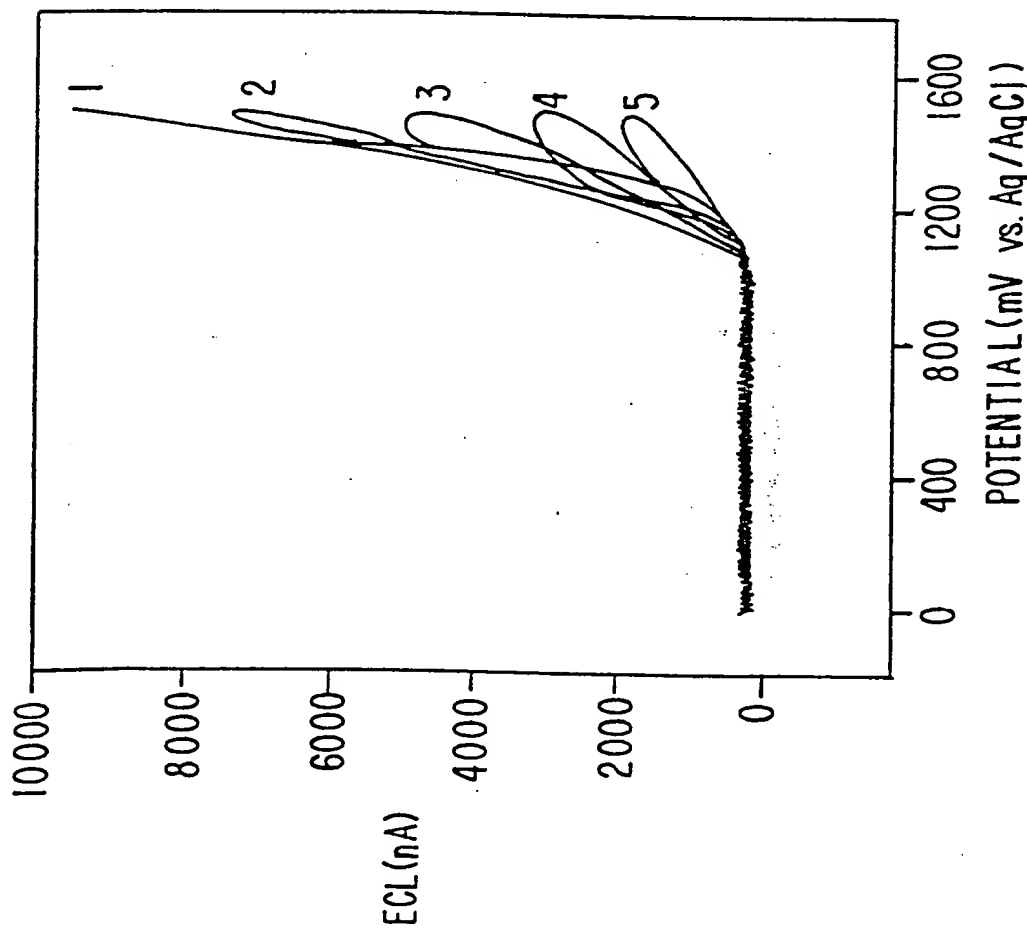
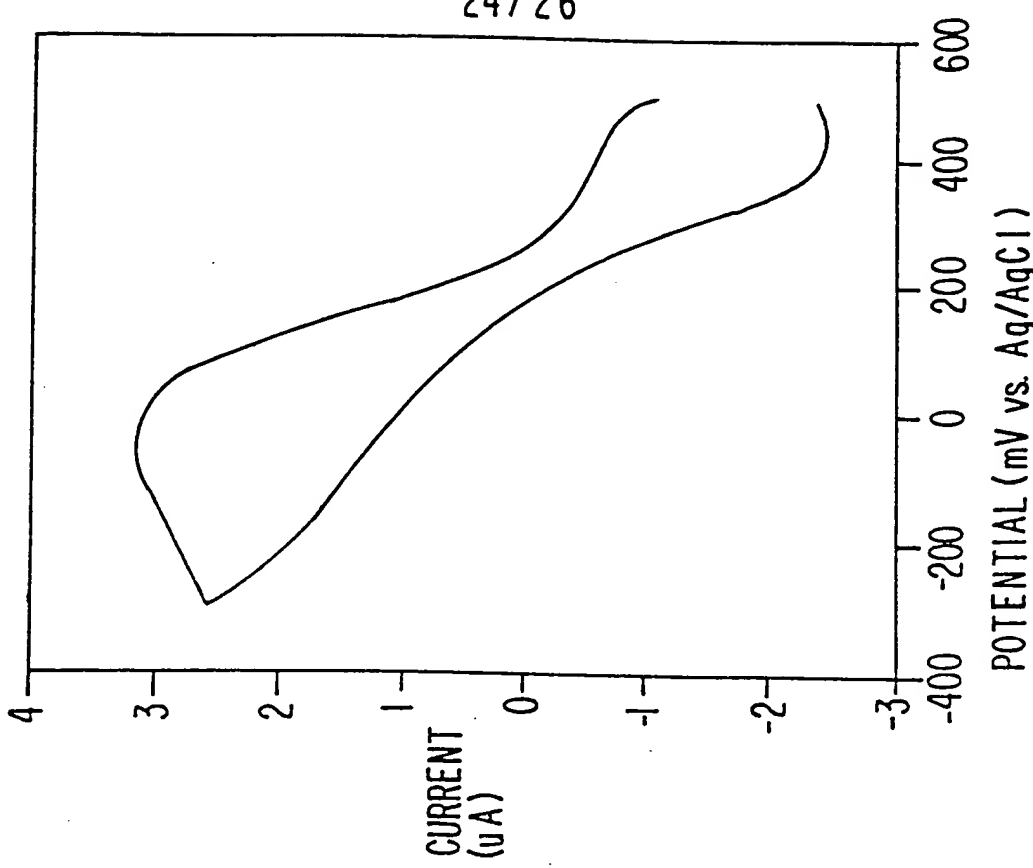


FIG. 45B



08/08/14 14:14

24/26

25/26 08/09/80

FIG. 46A

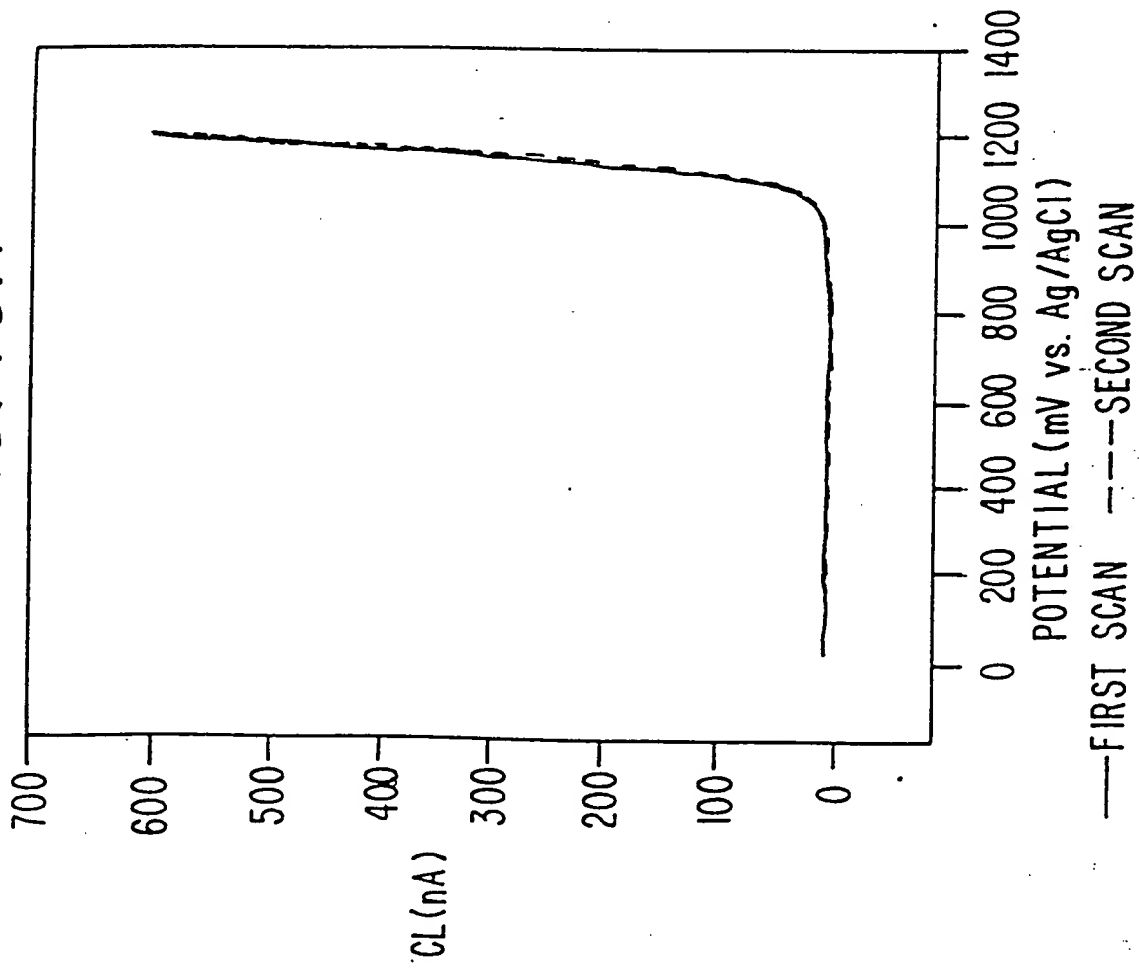
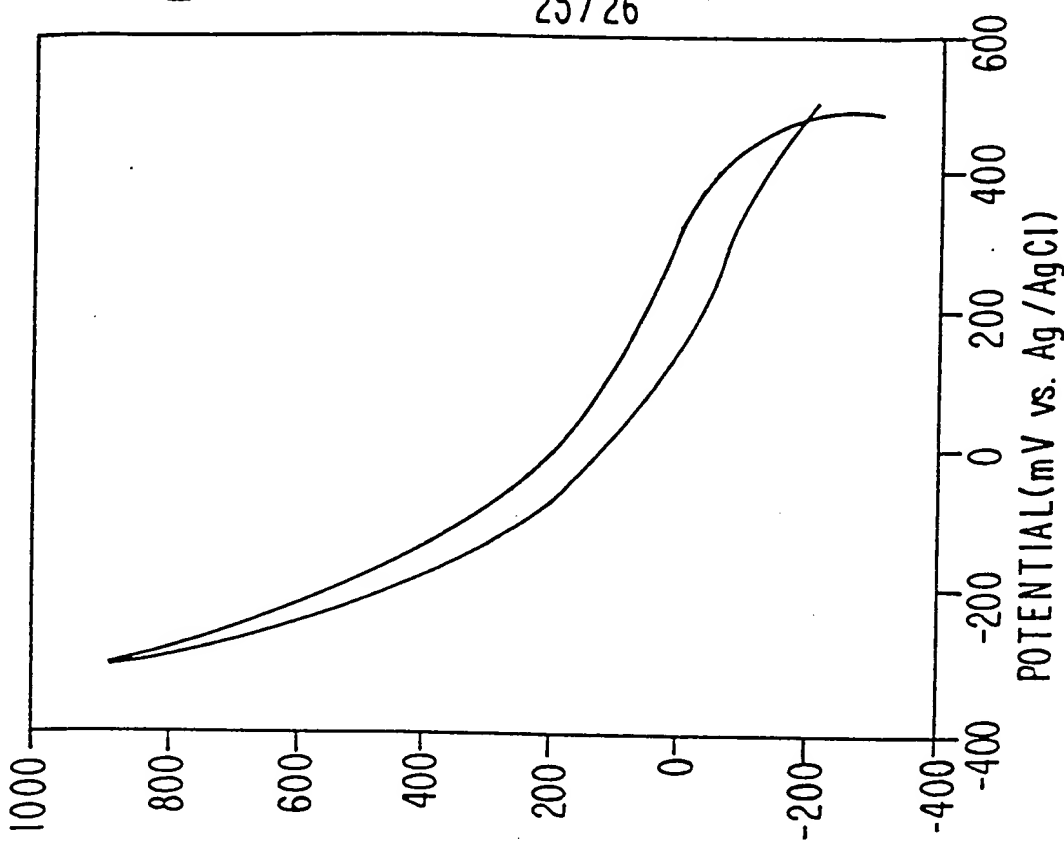


FIG. 46B



08/09/80 141

25/26

FIG. 47

